



普通高中教科书

地理图册

必修

第二册

(配人教版)



星球地图出版社
STAR MAP PRESS

主 编	周瑞祥	高俊昌
副主编	刘 健	骆建军
责任编辑	陈 思	周盈科
编 辑	陈 騫	连 玉
美术编辑	武 娜	
审 校	吴茜薇	张应运 张九零
审 订	李亚平	

通用图例

◎北京 首都、首府	 高速铁路、车站	 湖泊
◎太原 中国省级行政中心	 铁路、车站	 水库
○青岛 主要城市	 在建铁路、车站	 运河
 洲界	 高速公路	 陆缘冰
 国界	 主要公路	 沼泽
 (世界全图) 未定国界	 航空港	 沙漠
 (世界全图) 地区界	 港口	 长城
 军事分界线、停火线	 海岸线	 ▲3952 山峰、高程/m
 中国省级界	 常年河	 珊瑚礁
 中国特别行政区界	 时令河	

普通高中教科书

地理图册

必修 第二册

星球地图出版社 编制

星球地图出版社 出版

网址：<http://www.emapedu.com>

新华书店发行

中国人民解放军第一二〇六工厂印刷

开本：890毫米×1240毫米 1/16 印张：3.25

2019年6月第2版 2021年12月第6次印刷

ISBN 978-7-5471-2612-7

审图号：JS(2020)01-110号 定价：4.85元

著作权所有·侵权必究

本书部分图片来源于网络视觉中国

社址：北京市北三环中路69号 邮编：100088 电话：010-62011565

◎序 图 世界的国家和地区 中国行政区划	2
◎第一章 人口	6
第一节 人口分布	6
第二节 人口迁移	9
第三节 人口容量	12
◎第二章 乡村和城镇	14
第一节 乡村和城镇空间结构	14
第二节 城镇化	17
第三节 地域文化与城乡景观	22
◎第三章 产业区位因素	24
第一节 农业区位因素及其变化	24
第二节 工业区位因素及其变化	27
第三节 服务业区位因素及其变化	30
◎第四章 交通运输布局与区域发展	32
第一节 区域发展对交通运输布局的影响	32
第二节 交通运输布局对区域发展的影响	36
◎第五章 环境与发展	39
第一节 人类面临的主要环境问题	39
第二节 走向人地协调——可持续发展	42
第三节 中国国家发展战略举例	44



1:90 000 000



非洲

- 39 布基纳法索
- 40 贝宁
- 41 多哥

南、北美洲

- 42 多米尼加
- 43 波多黎各(美)
- 44 安圭拉(英)
- 45 马提尼克(法)
- 46 圣文森特和格林纳丁斯
- 47 库拉索(荷)

- 27 克罗地亚
- 28 波斯尼亚和黑塞哥维那
- 29 塞尔维亚

- 30 北马其顿
- 31 阿尔巴尼亚
- 32 圣马力诺

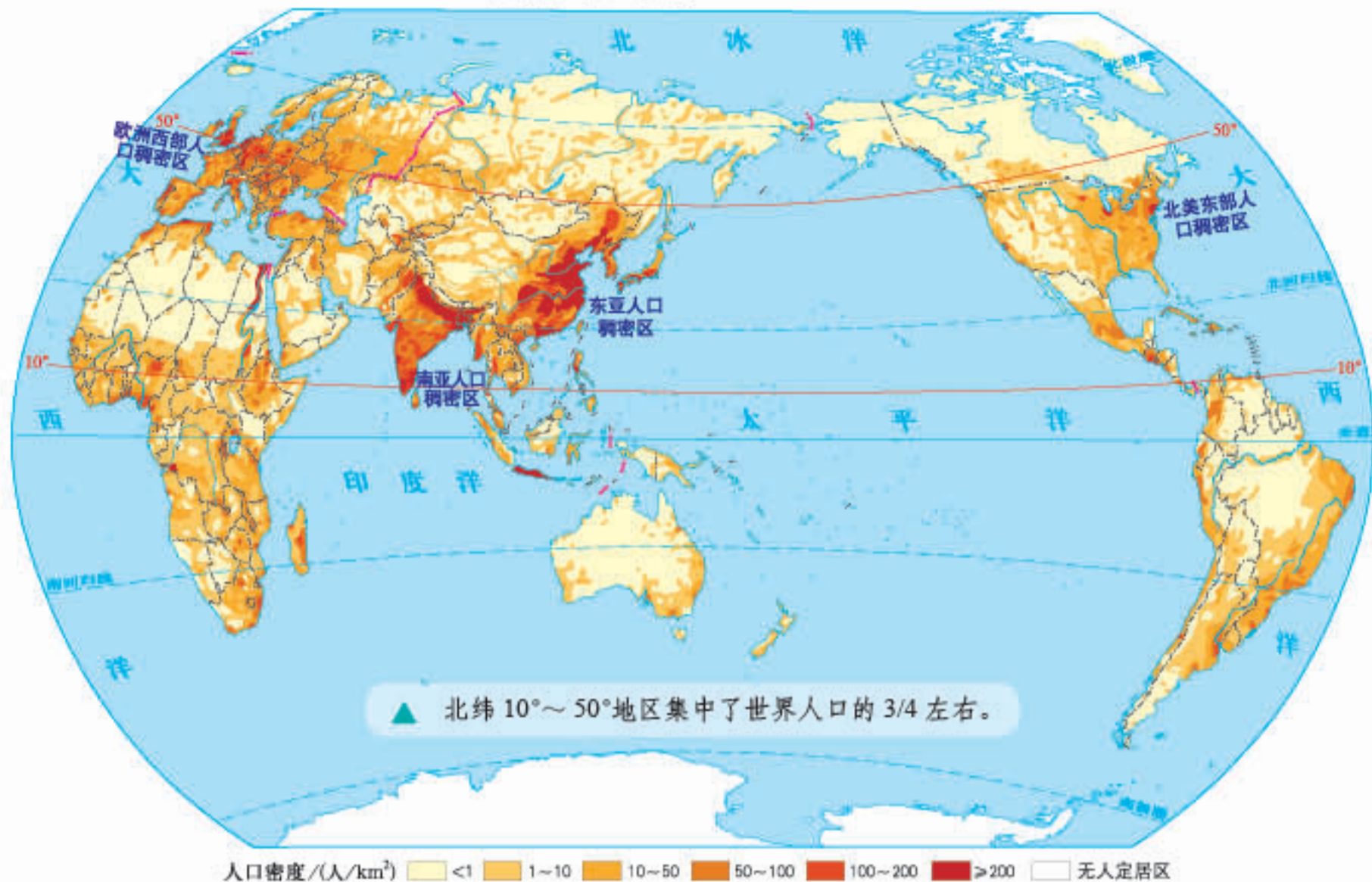
- 33 梵蒂冈
- 34 摩纳哥
- 35 安道尔

- 36 俄罗斯
- 37 拉脱维亚
- 38 爱沙尼亚



世界人口的分布

世界人口分布 1:180 000 000

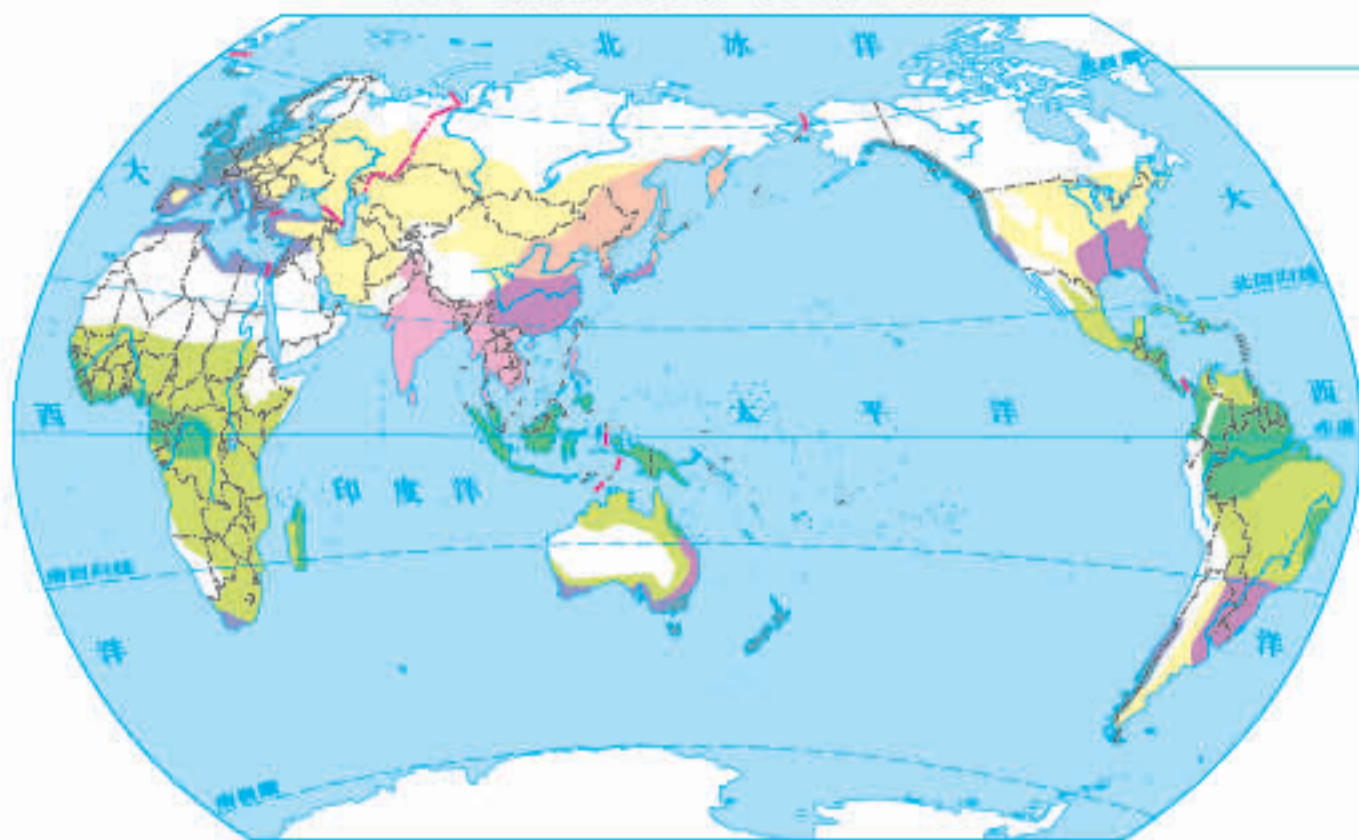


世界人口超过1亿的国家分布 1:180 000 000



影响人口分布的因素

世界气候类型分布 1:240 000 000



● 气候因素

◀ 世界人口主要分布在气候较为适宜的温带和亚热带的湿润、半湿润地区。

- 热带雨林气候
- 热带草原气候
- 热带季风气候
- 亚热带季风和湿润气候
- 地中海气候
- 温带海洋性气候
- 温带季风气候
- 温带大陆性气候
- 其他气候

世界海拔低于500米的地区分布 1:240 000 000

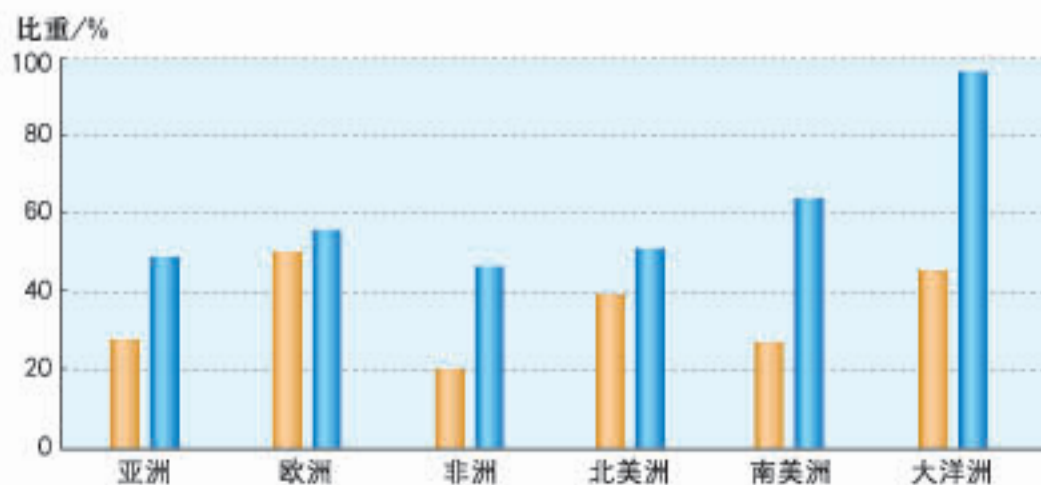


● 地形因素

◀ 世界近 80% 的人口居住在海拔 500 米以下的低平地区。

- 海拔低于500米的地区

世界各大洲距海岸线 200 千米范围内陆地面积和人口比重



● 海陆因素

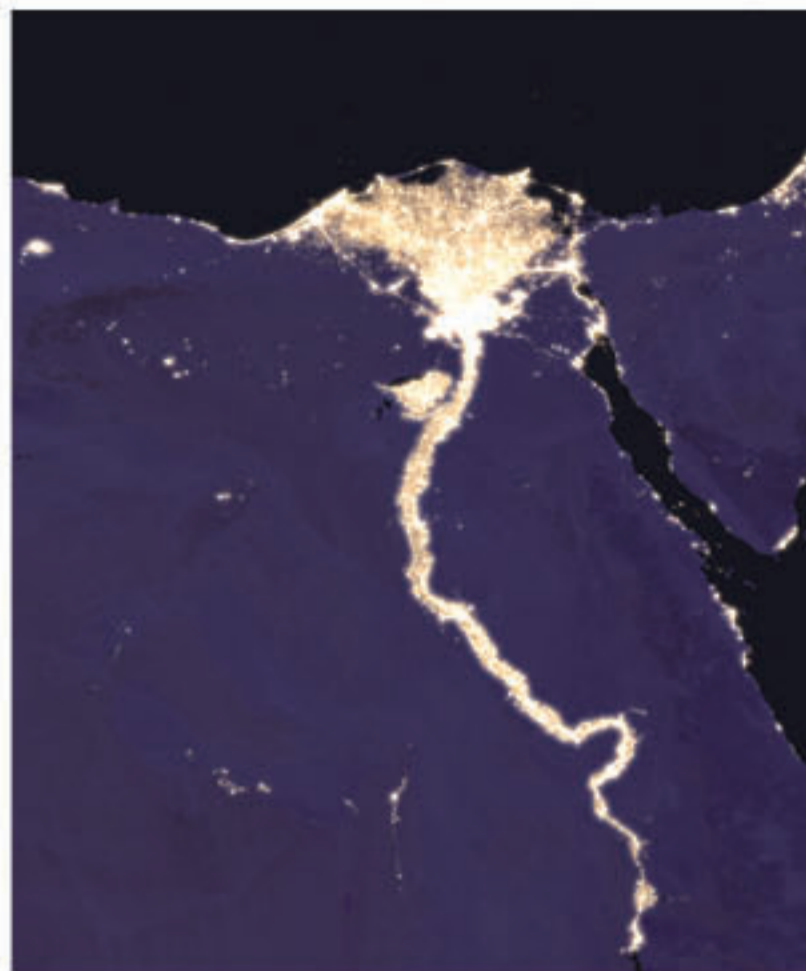
◀ 人口多分布在沿海地区。

- 陆地面积
- 人口

●水源因素

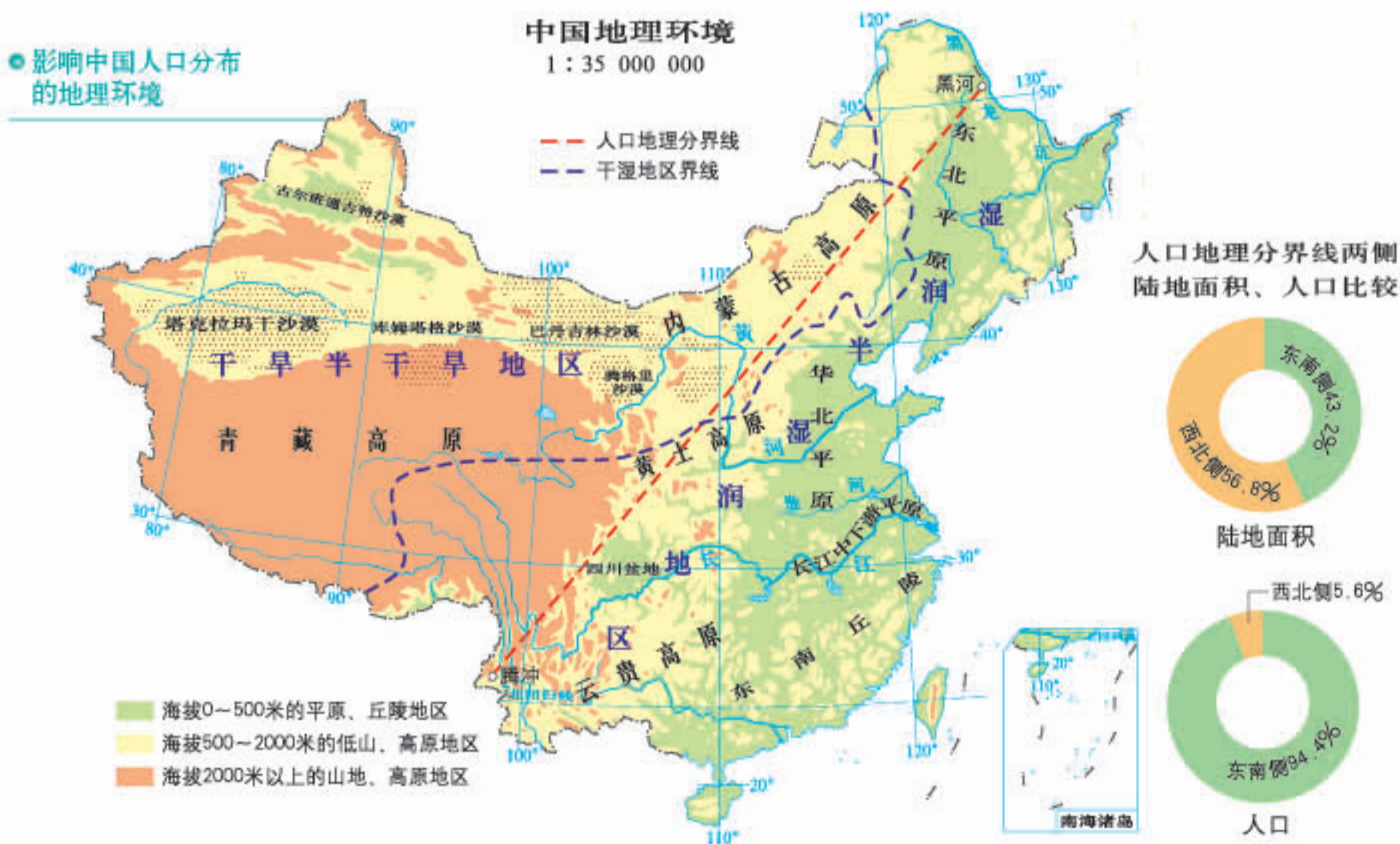


◀ 尼罗河下游大部分地区气候干旱、降水稀少，人口主要分布在尼罗河三角洲和尼罗河沿岸地区。



尼罗河下游夜间灯光图（2016年）

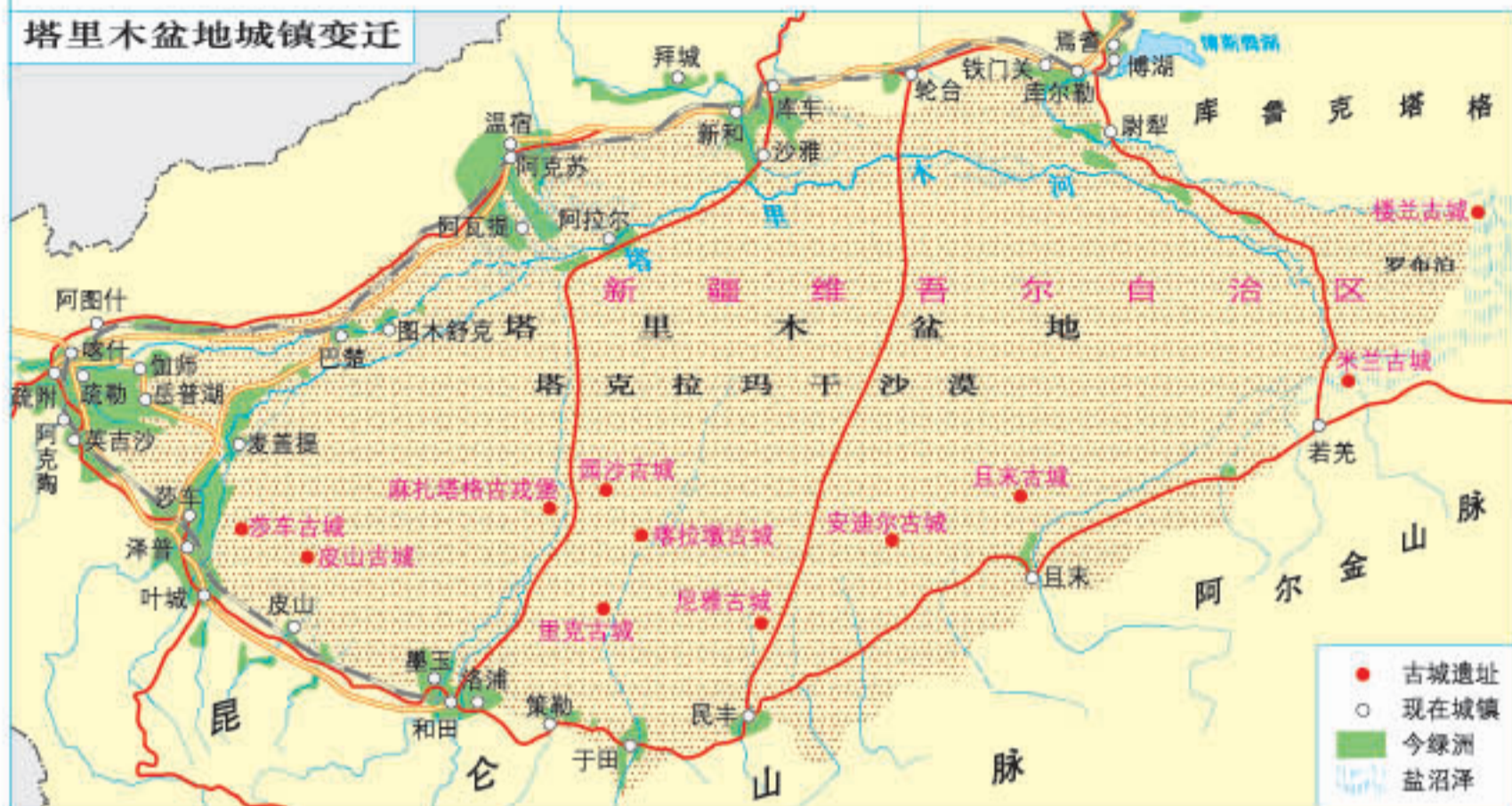
●影响中国人口分布的地理环境



影响人口迁移的因素

● 环境因素

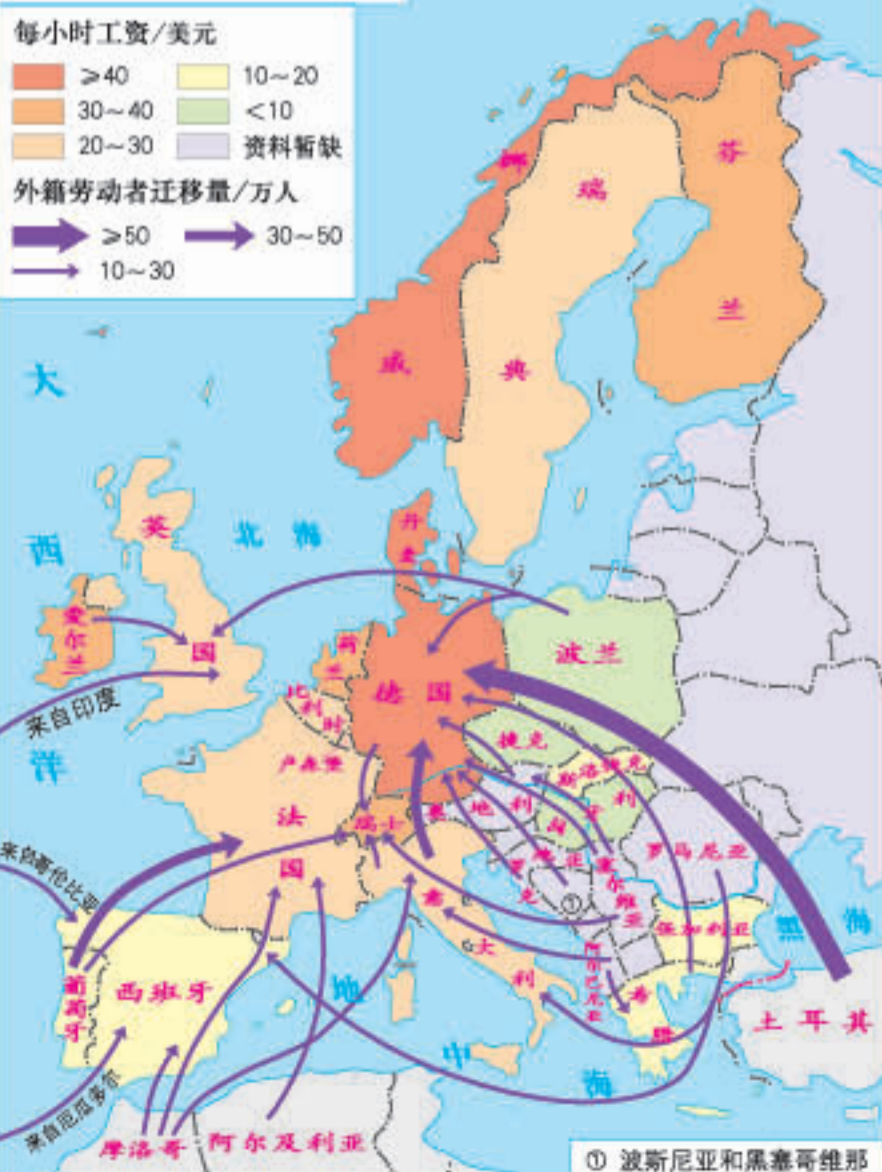
塔里木盆地城镇变迁



▲ 汉代以来，塔里木盆地南缘沙漠与绿洲的进退，导致了人口的迁移和城镇的兴衰。

● 经济因素

外籍劳动者迁入欧洲



注：资料来源于经济合作与发展组织（OECD）《全球移民展望》。

● 战争因素

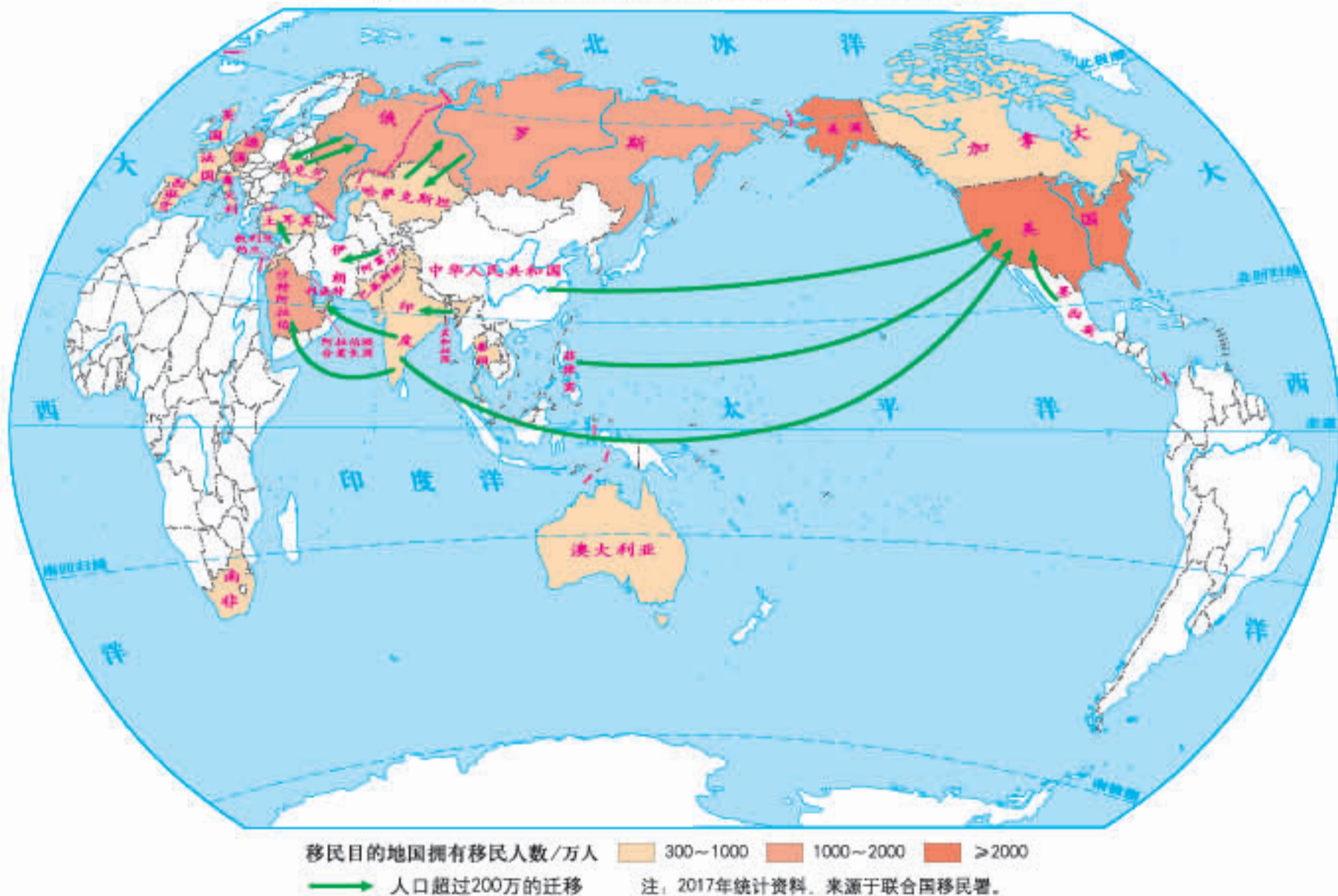
2011—2016年叙利亚难民迁入欧洲





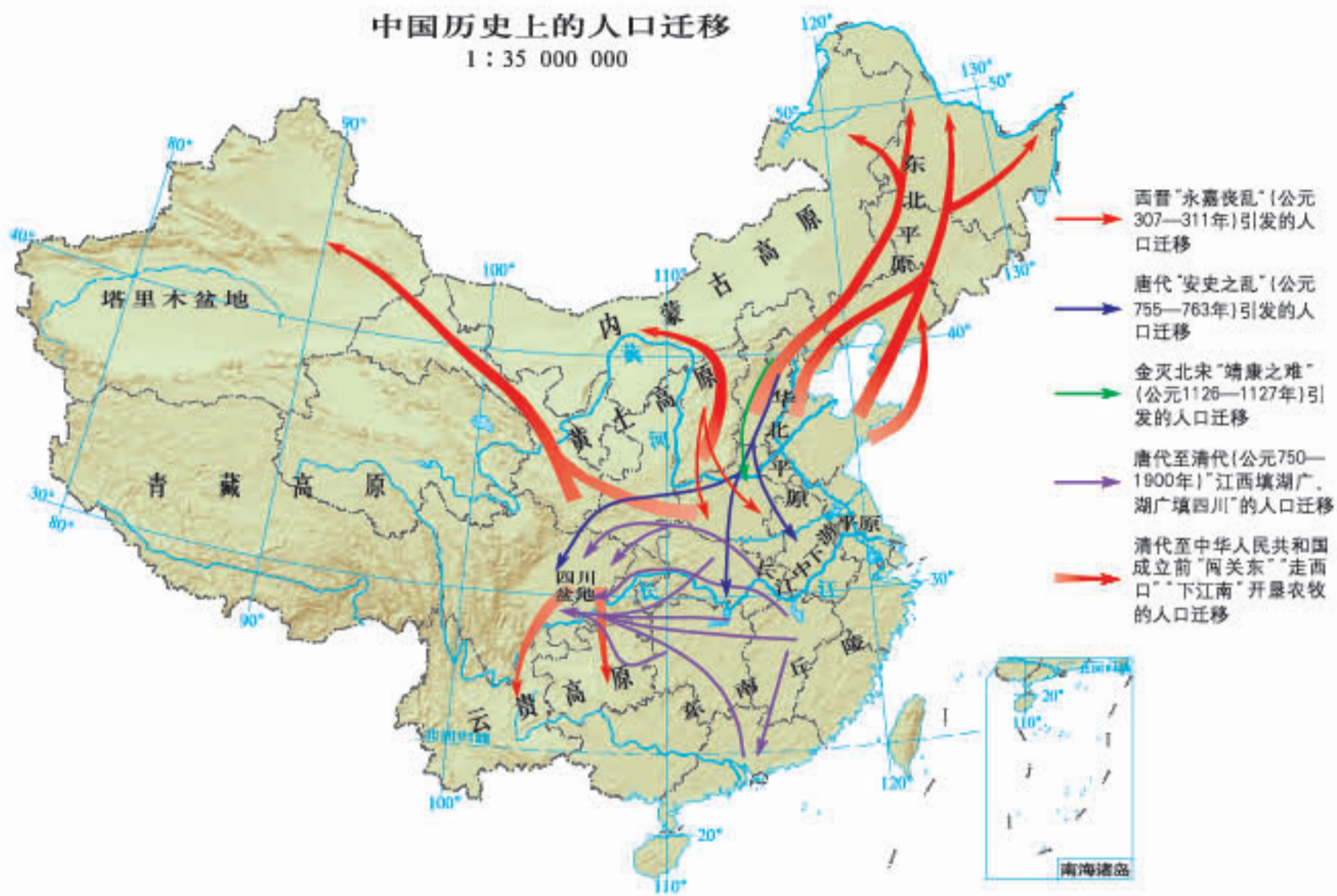
人口迁移的时空特点

世界主要移民目的地国分布 1:180 000 000



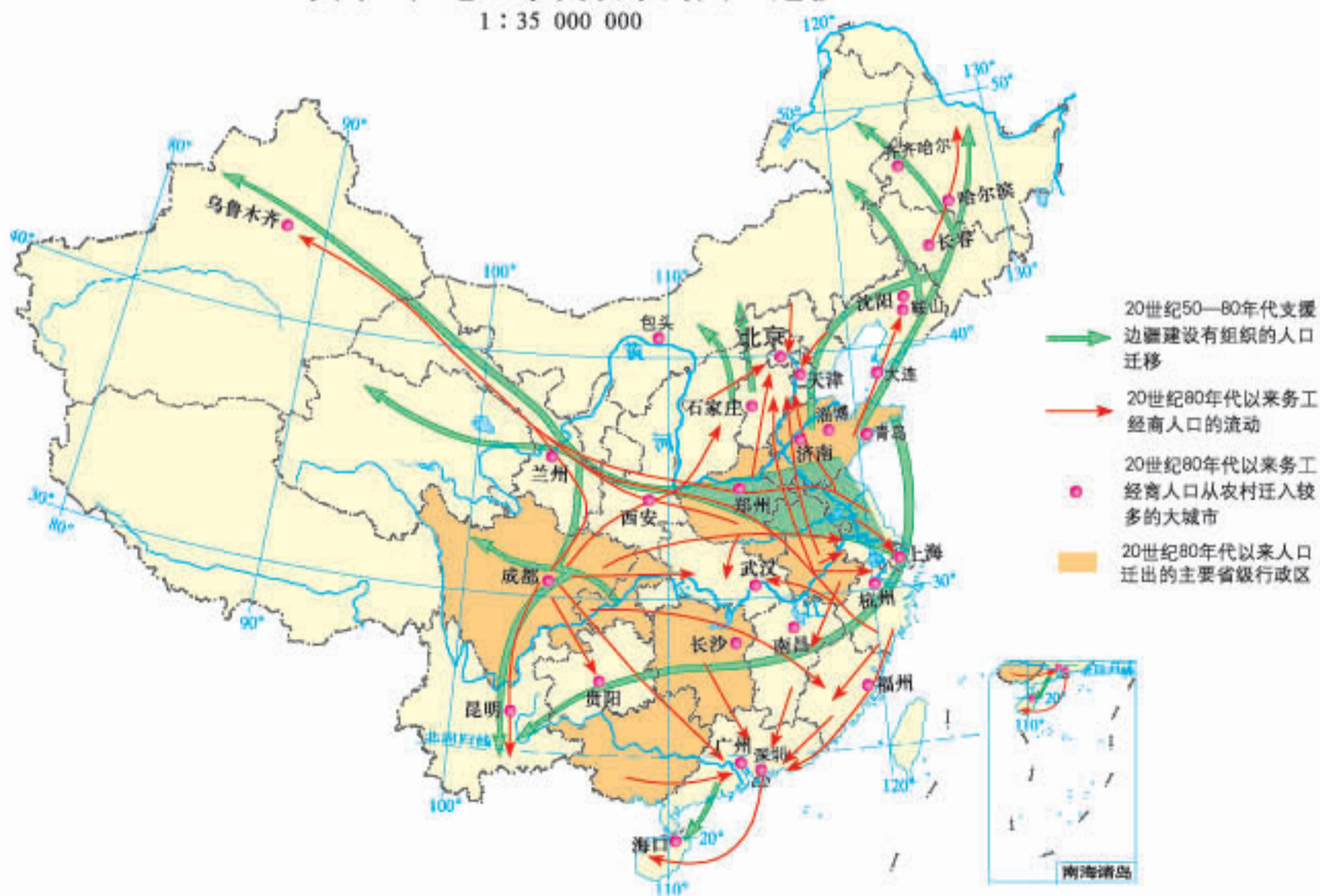
中国历史上的人口迁移

1:35 000 000



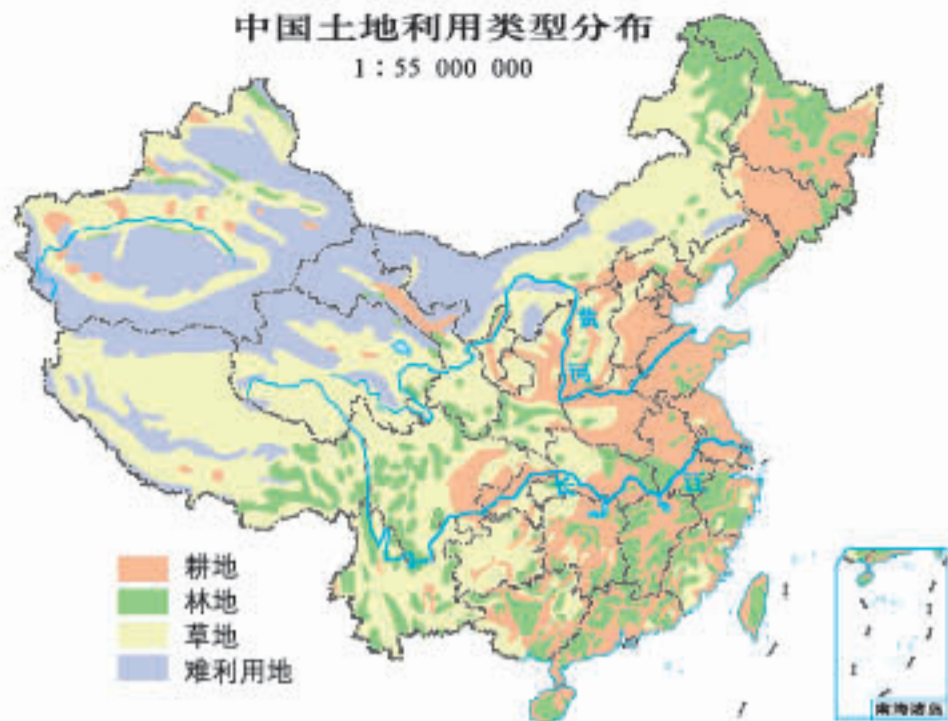
中国20世纪50年代以来的人口迁移

1:35 000 000

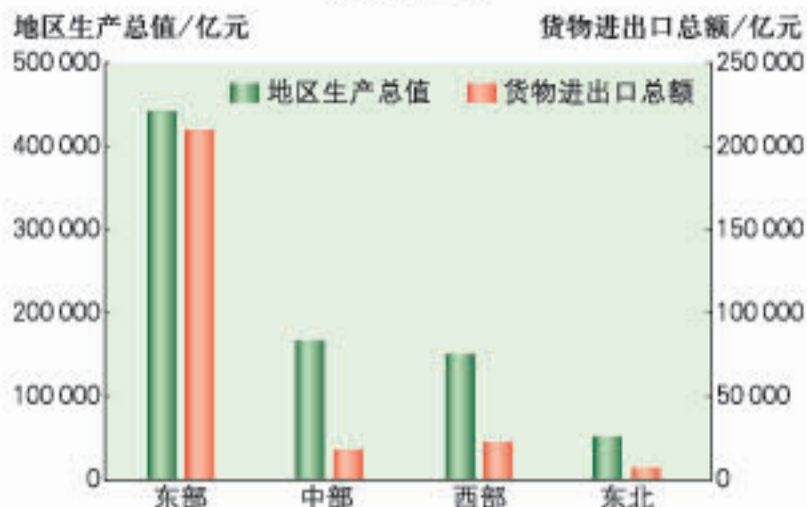


中国土地利用类型分布

1:55 000 000

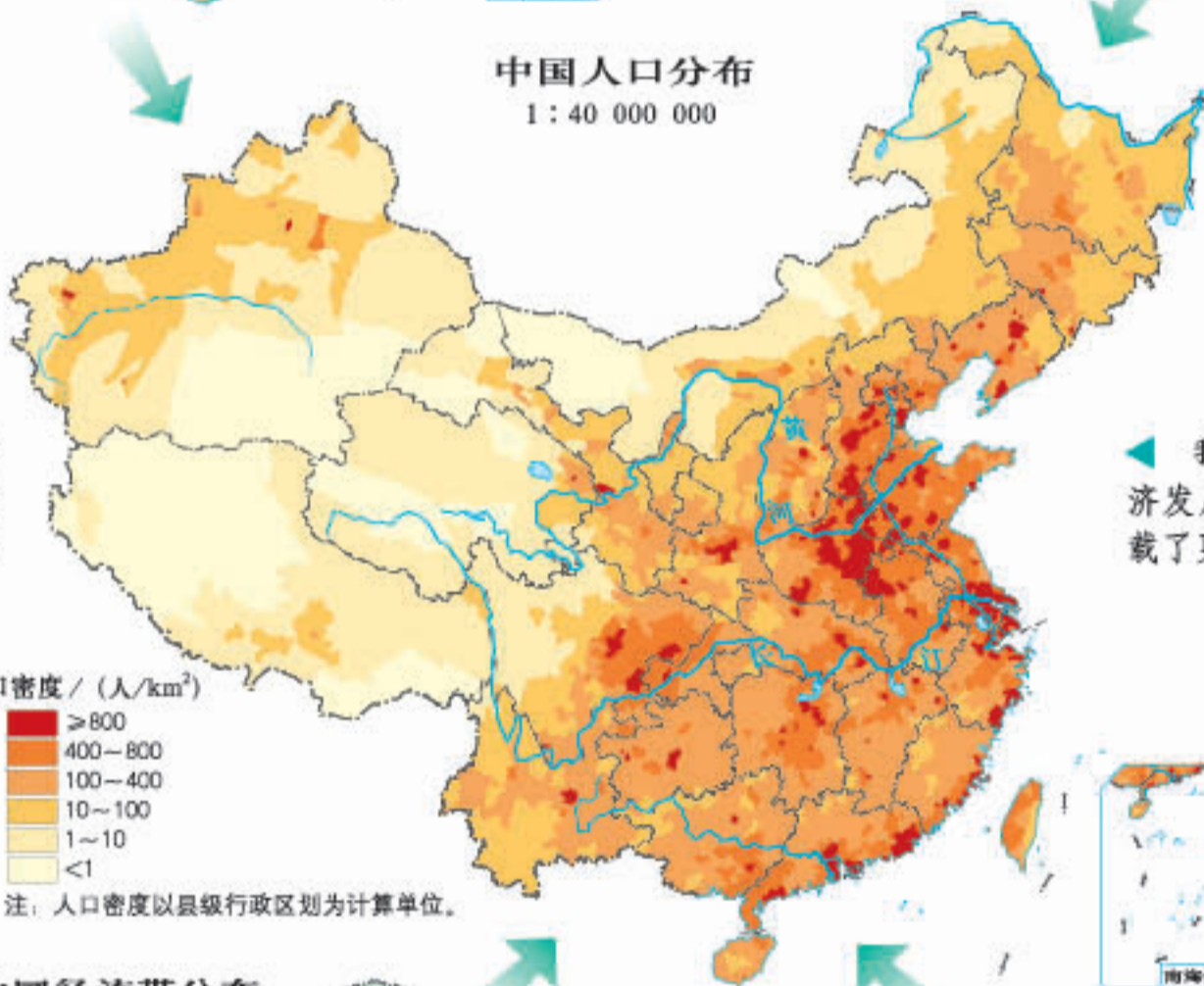


中国东中西部及东北地区社会经济发展差异 (2017年)



中国人口分布

1:40 000 000

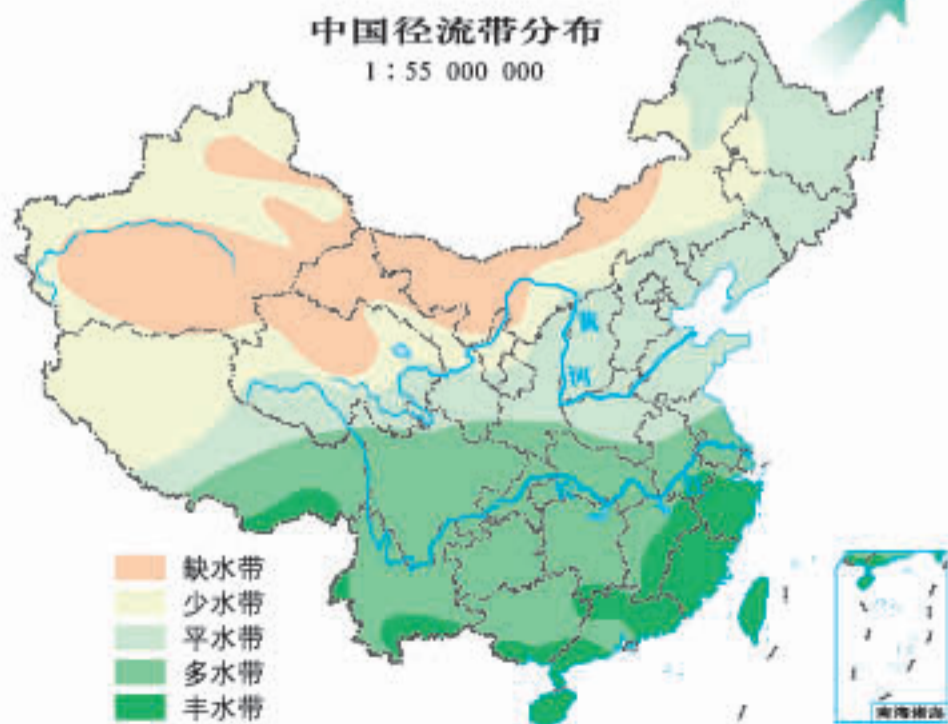


▶ 我国东部的耕地、水等自然资源较丰富，承载了更多的人口。

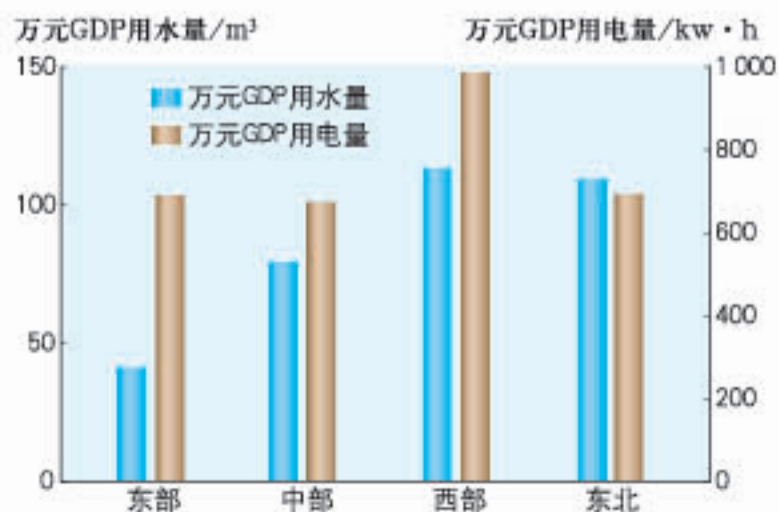
◀ 我国东部社会经济发展水平较高，承载了更多人口。

中国径流带分布

1:55 000 000



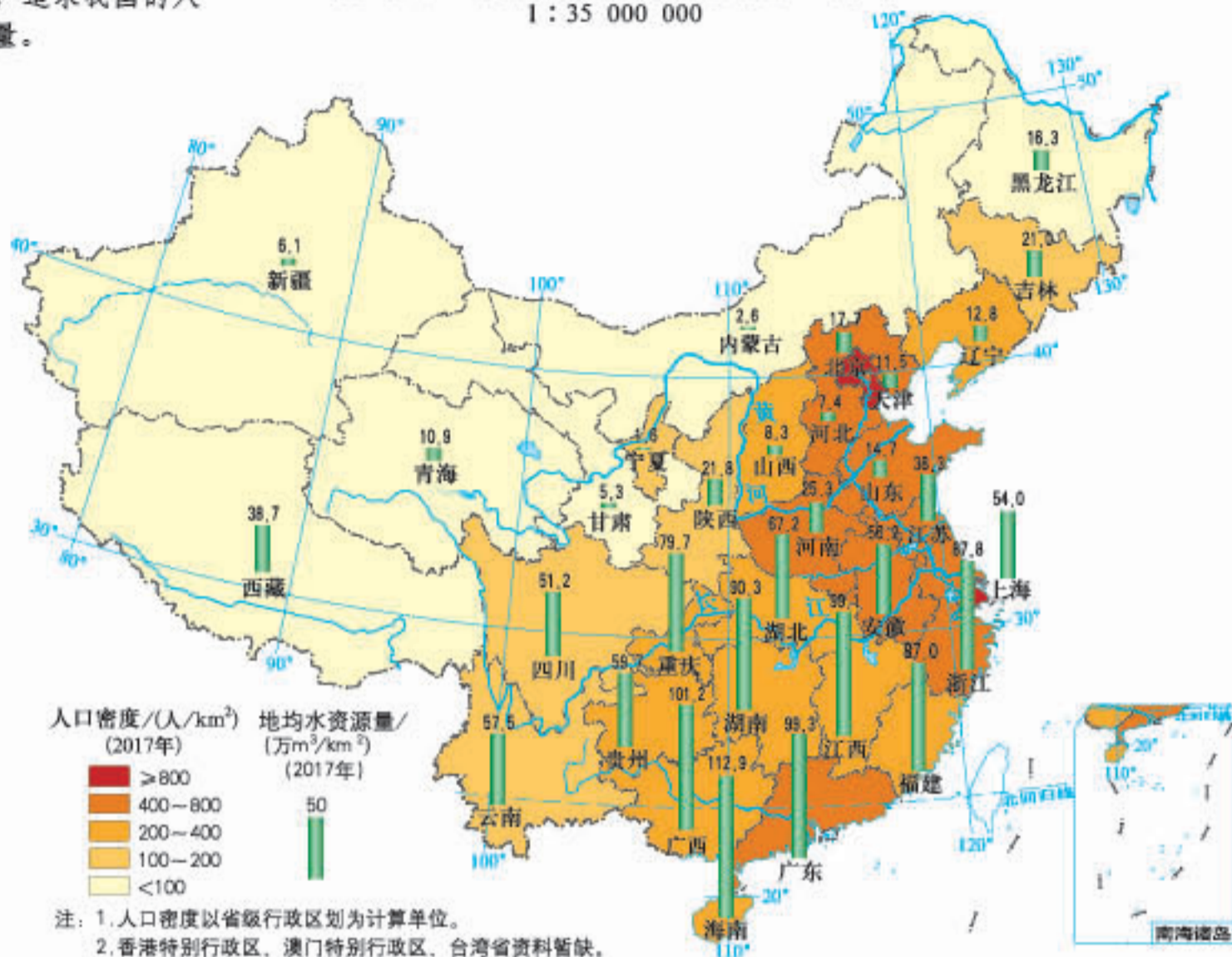
中国东中西部及东北地区万元GDP用水量 and 用电量差异 (2017年)



人口合理容量

▼ 尊重人地协调发展的客观规律，追求我国的人口合理容量。

中国人口密度和地均水资源量分布
1 : 35 000 000



中国开发强度分布
1 : 35 000 000



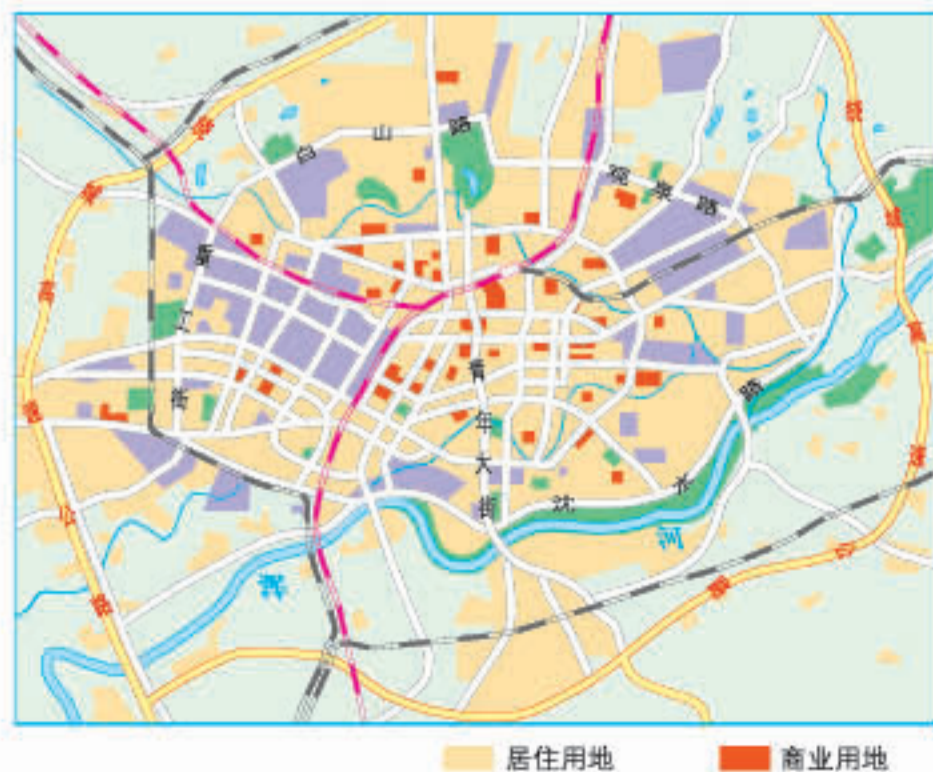
乡村的土地利用



川西平原林盘村落卫星影像（2017年）

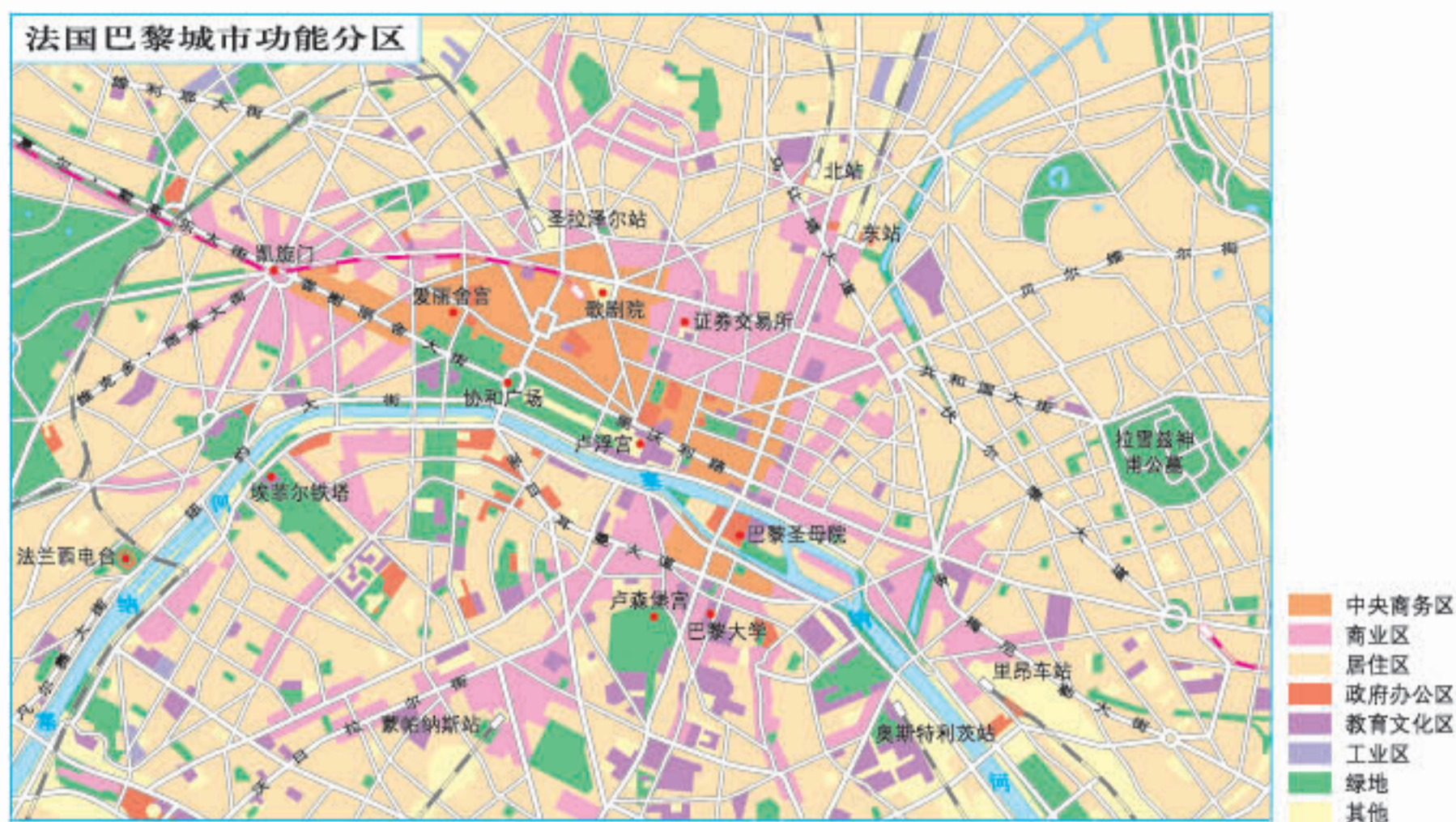
城镇内部空间结构

沈阳城区土地利用示意



成都城区土地利用示意



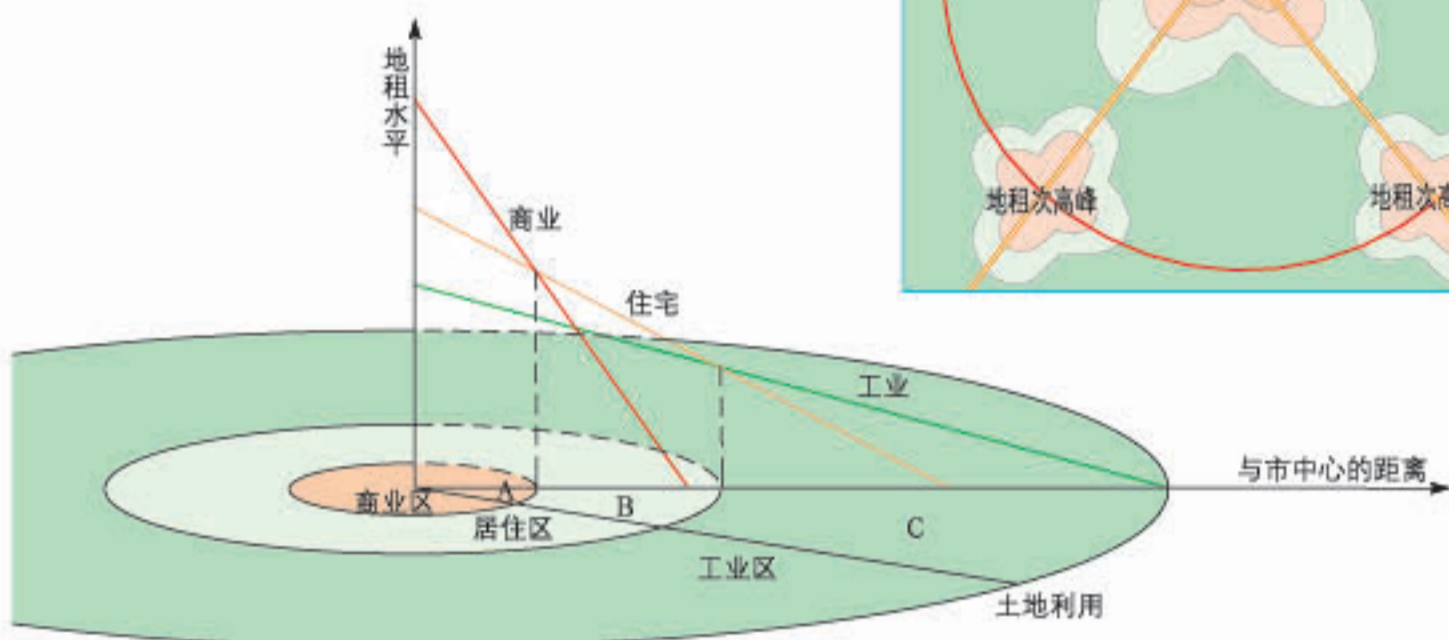


巴西巴西利亚卫星影像（2016年）



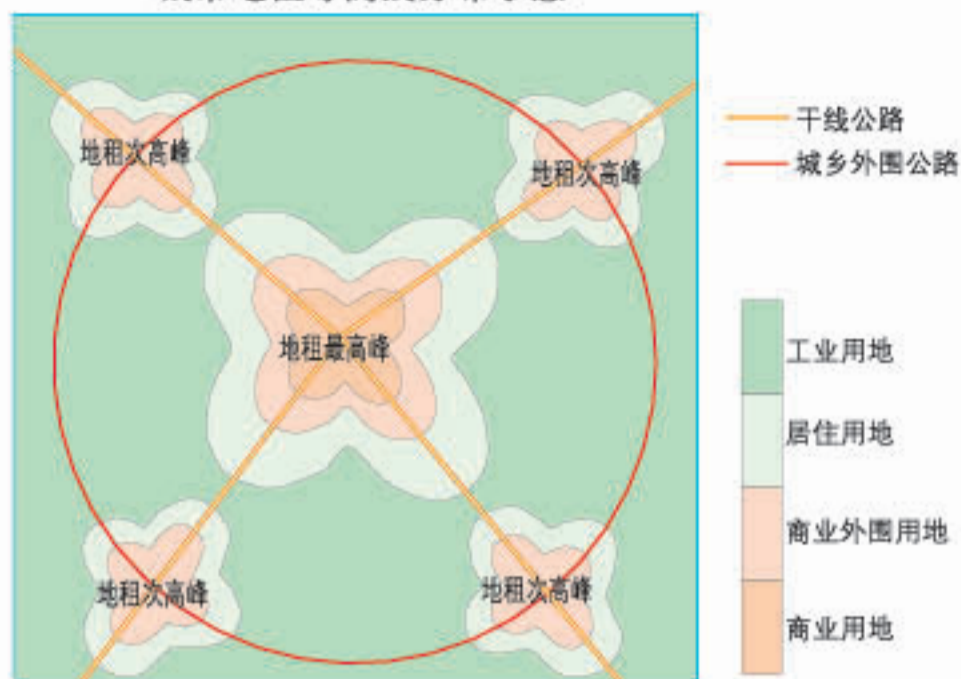
城镇内部空间结构的形成和变化

▼ A区交通通达度最高，地租最贵，为商业区；B区交通通达度相对较高，地租较贵，居住区建在此既有利于人们上下班，又方便购物；C区交通通达度小，租金较低，工业成为该区的土地利用形式。



各类土地利用付租能力随距离递减示意

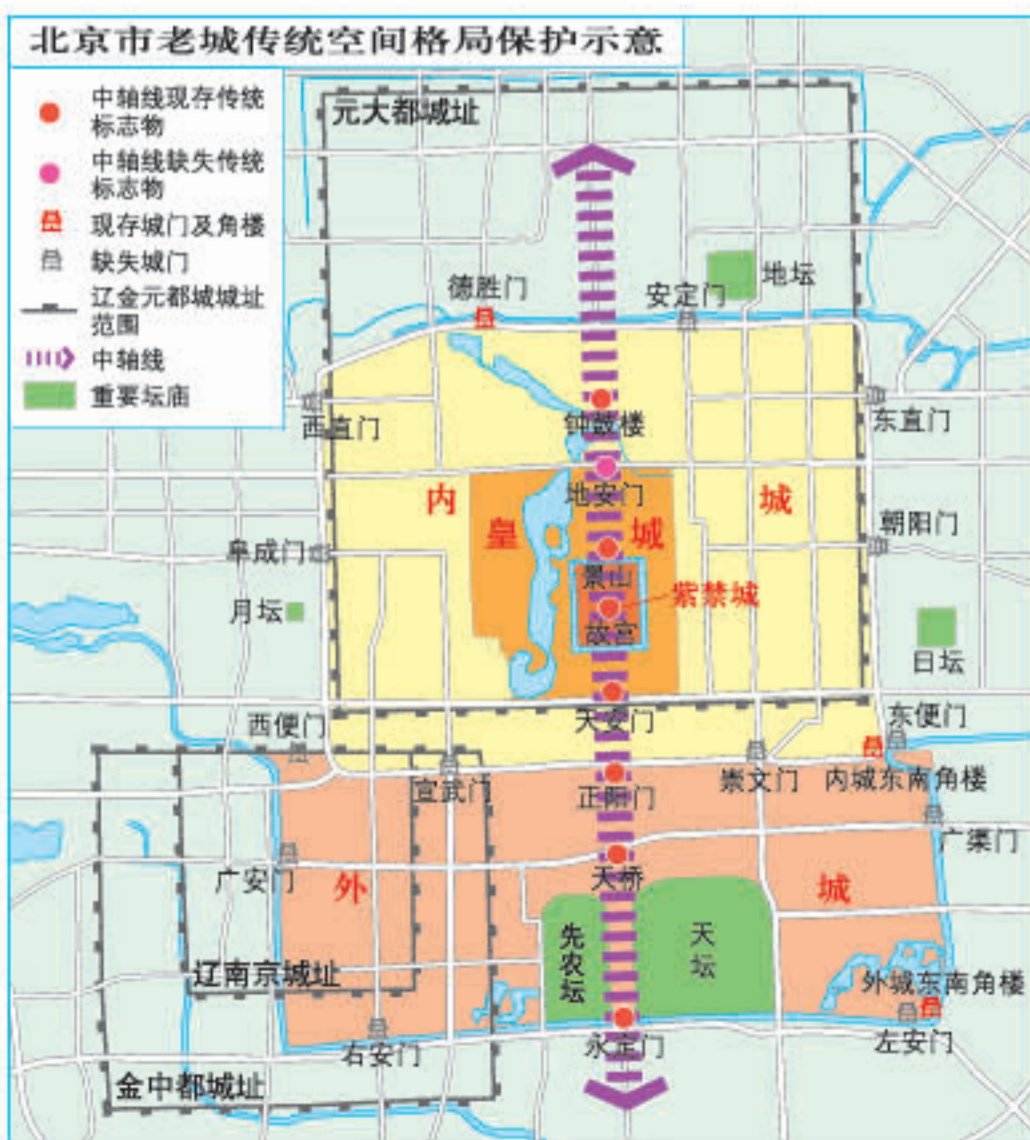
城市地租等高线分布示意



合理利用城乡空间的意义



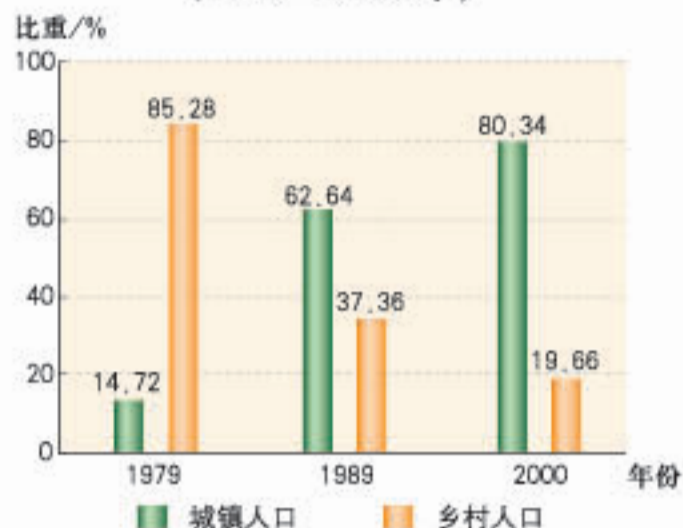
▲ 北京城市副中心规划构建“两带、一环、一心”的绿色空间结构，促进城市和绿色空间融合发展。



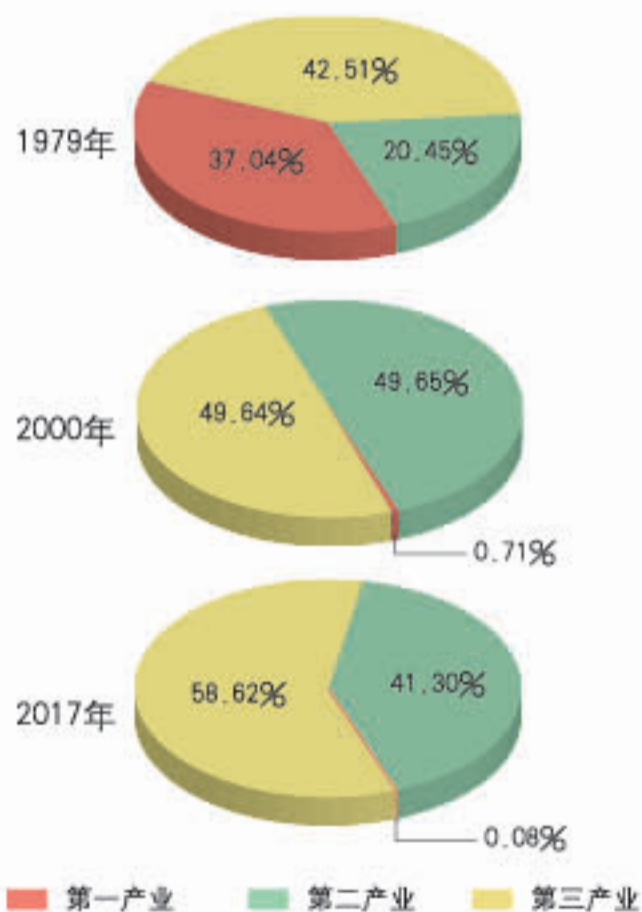
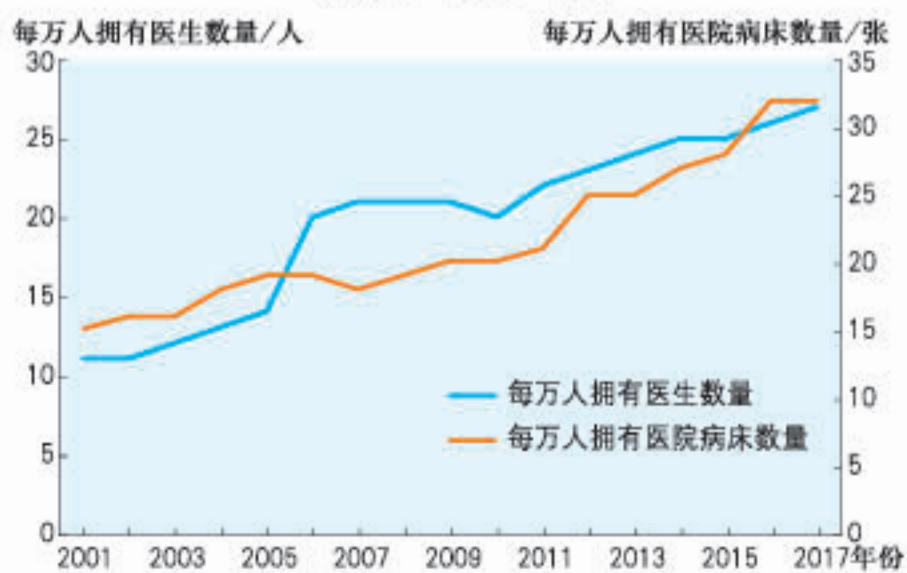
注：根据《北京城市总体规划（2016—2035年）》绘制。

城镇化的意义

深圳街区扩展

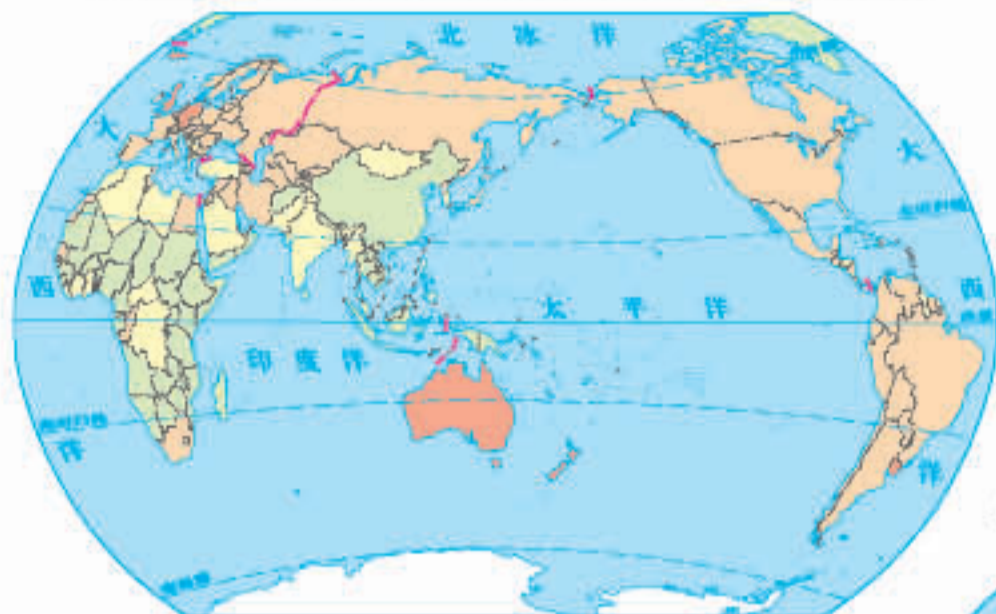
深圳市城乡人口比重变化
(1979—2000年)

深圳市产业结构变化 (1979—2017年)

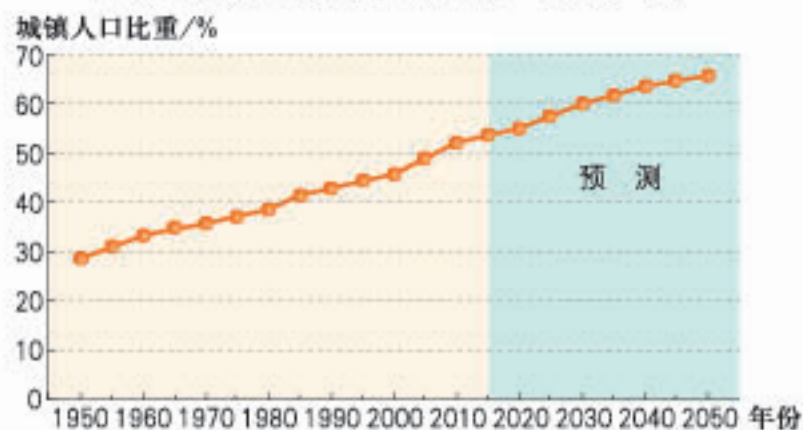
深圳市饮用水达标率与生活污水处理率变化
(2001—2017年)深圳市每万人拥有医生和医院病床数量变化
(2001—2017年)

世界城镇化进程

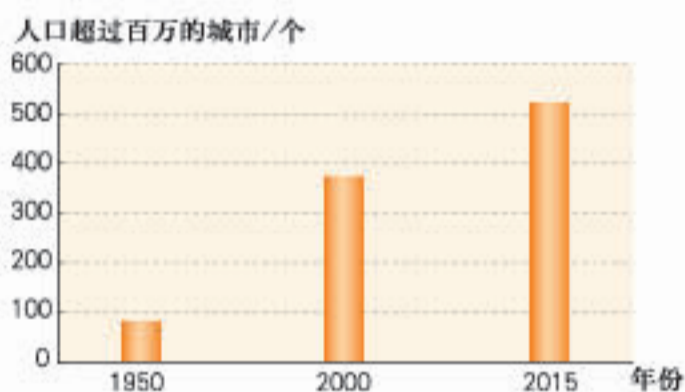
20世纪50年代初世界城镇化水平分布 1:330 000 000



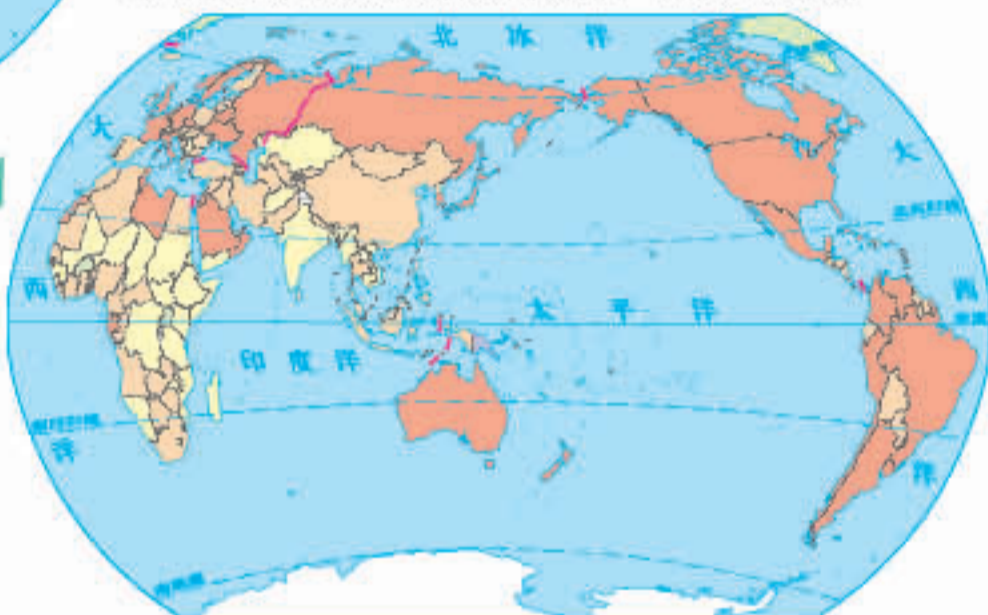
世界城镇化进程 (1950—2050 年)



世界人口超过百万的城市数量变化 (1950—2015 年)



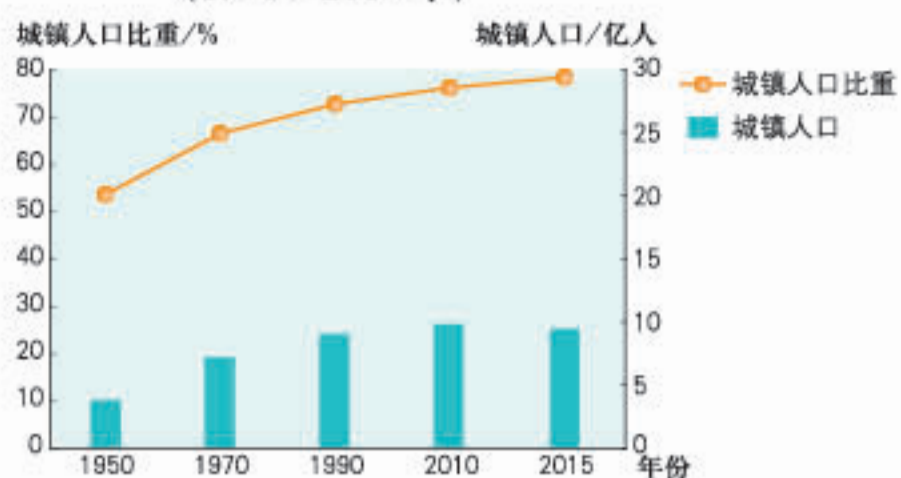
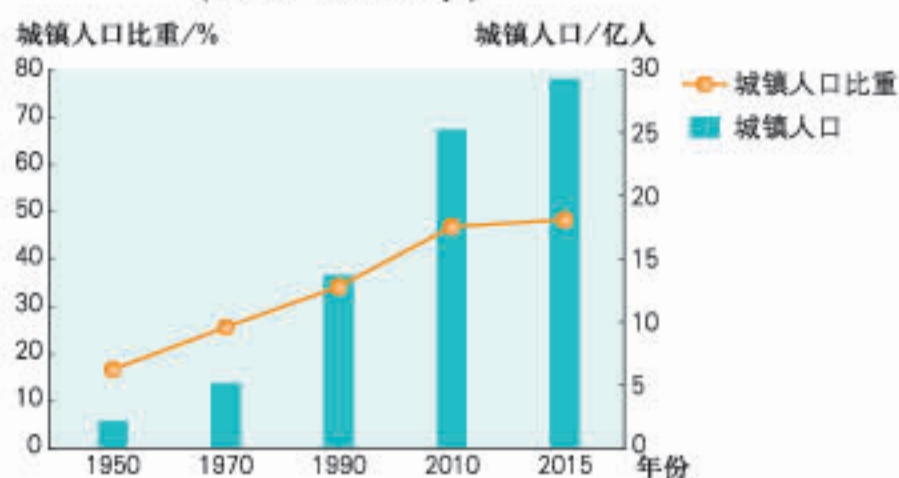
21世纪初世界城镇化水平分布 1:330 000 000



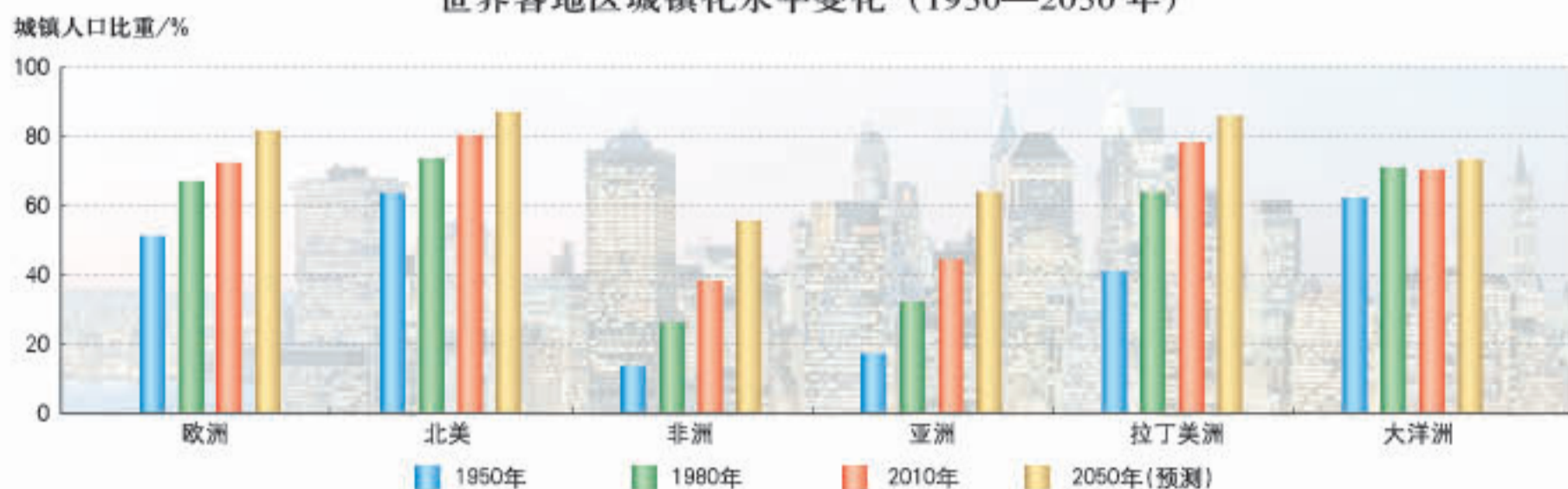
2017年世界城镇化水平分布 1:180 000 000



城镇人口比重/% <15 15~30 30~70 >70 资料暂缺 ● 2016年人口超过千万的城市

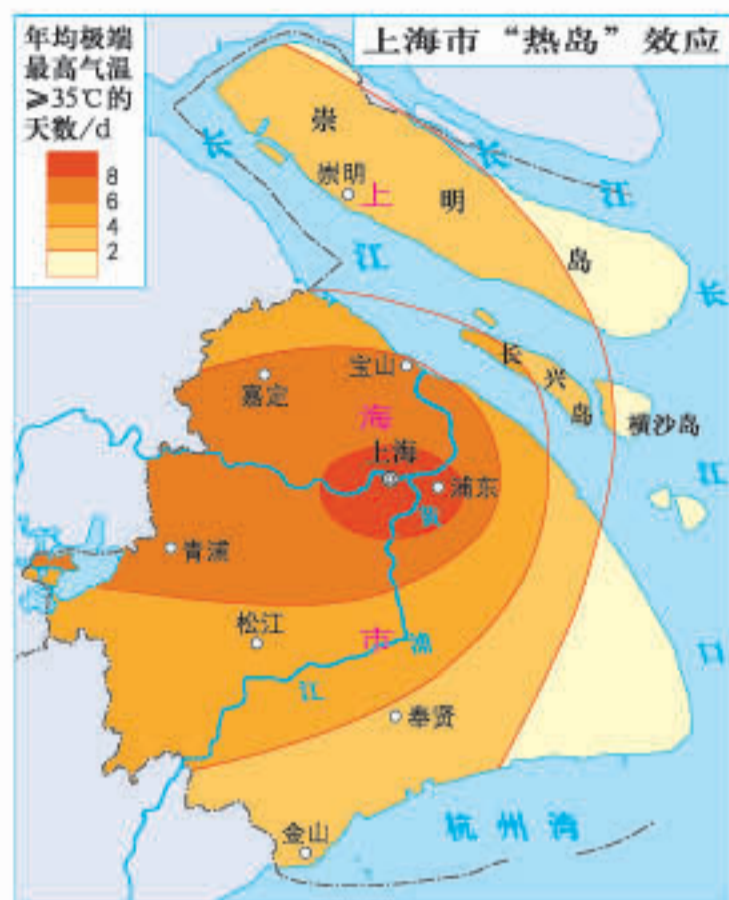
发达国家城镇化进程
(1950—2015年)发展中国家城镇化进程
(1950—2015年)

世界各地城镇化水平变化 (1950—2050年)



城镇化过程中出现的问题

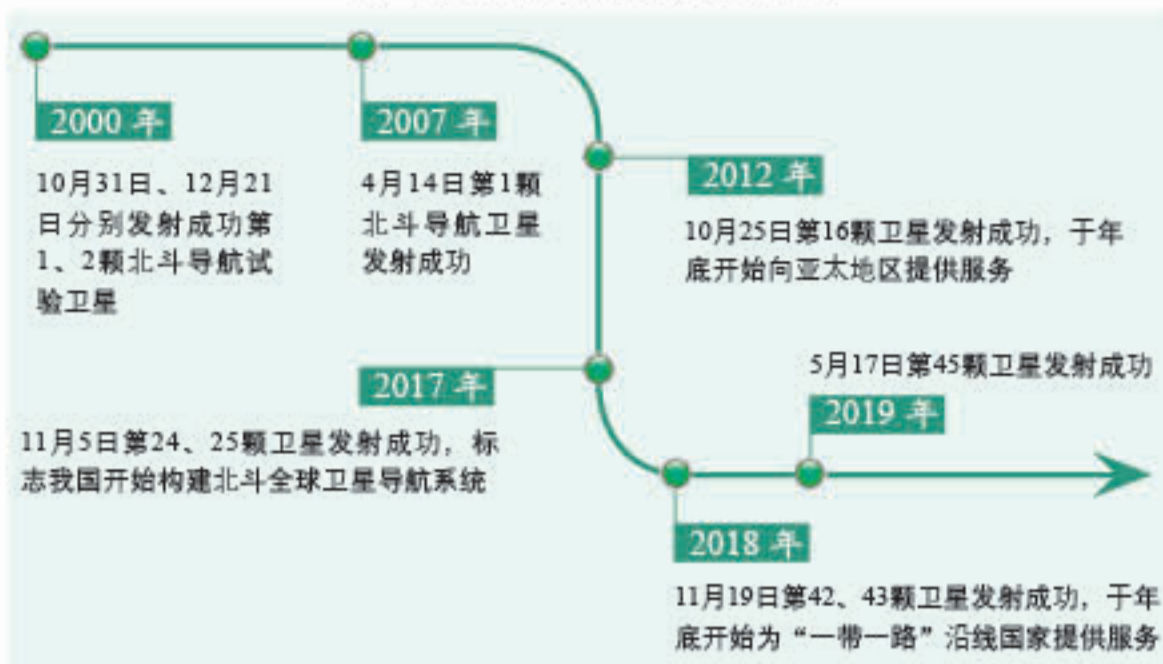
城镇化对地理环境的影响



肯尼亚内罗毕的基贝拉贫民窟

地理信息技术在城市管理中的应用

北斗卫星导航系统发展历程



北斗卫星导航定位系统在渣土管理中的应用



利用北斗技术，解决渣土运输车辆超载、超速、不遵守交通规则、非法倾倒等问题。



智慧渣土综合管理平台可视化数据示例

GIS 服务平台示意



手机查询行车路线



道路颜色由绿→黄→红代表拥堵程度由轻到重。

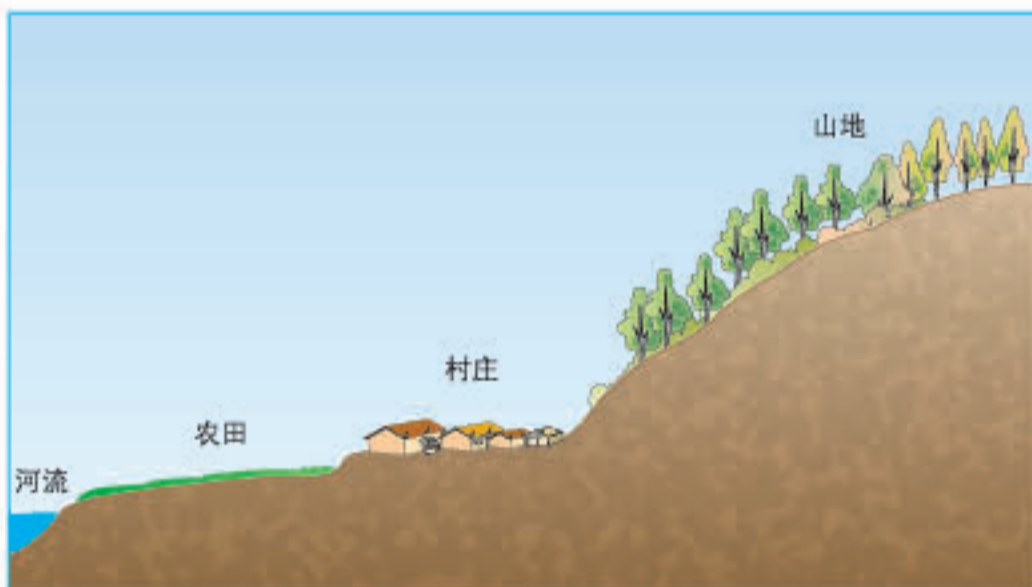
地域文化与乡村景观



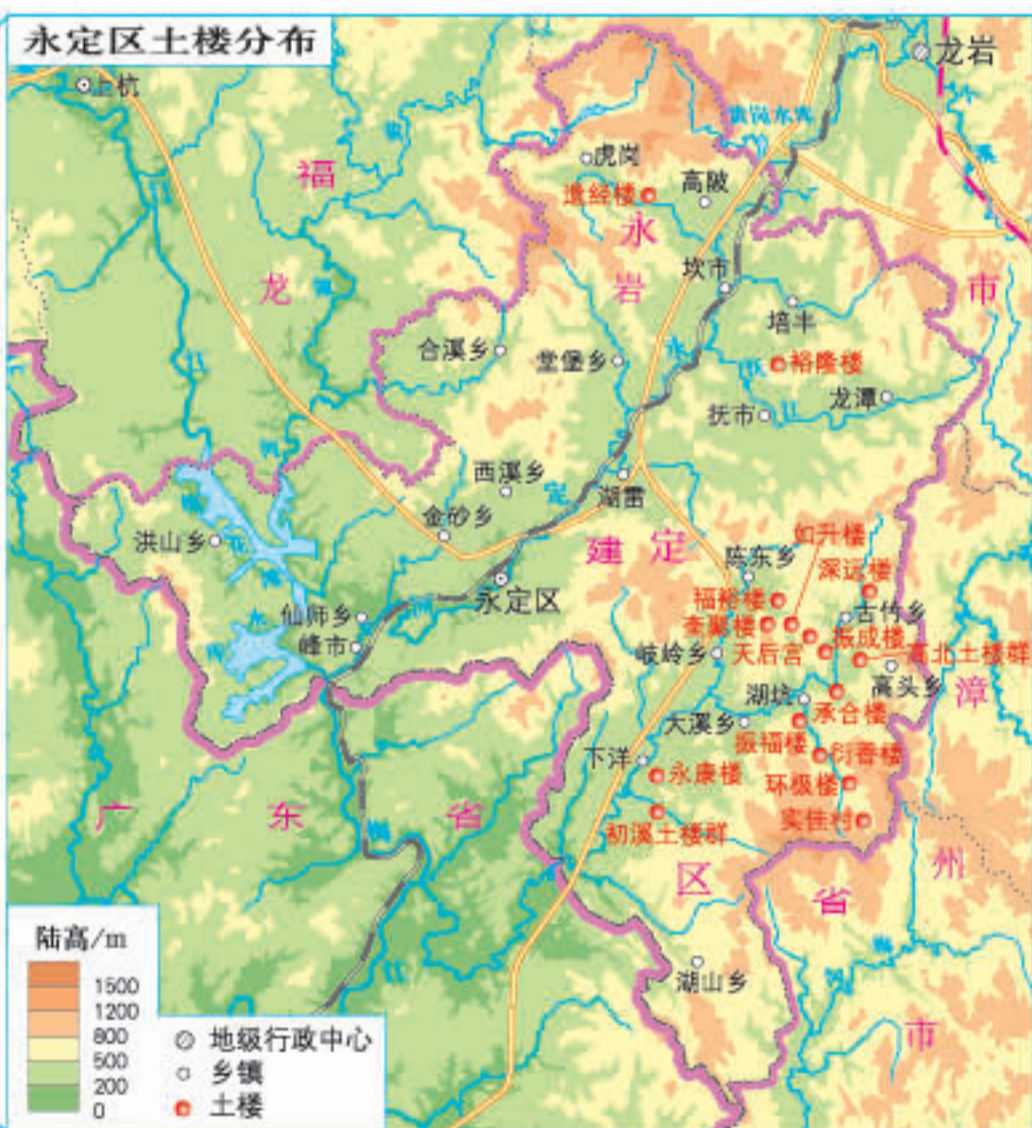
▲ 婺源县地处江西省东北低山丘陵区，素有“八分半山一分田，半分水路和庄园”之称。



月亮湾景观及剖面示意



▲ 永定区位于福建省西南部，地处玳瑁山和博平岭向西南延伸的中低山地带。



地域文化与城镇景观

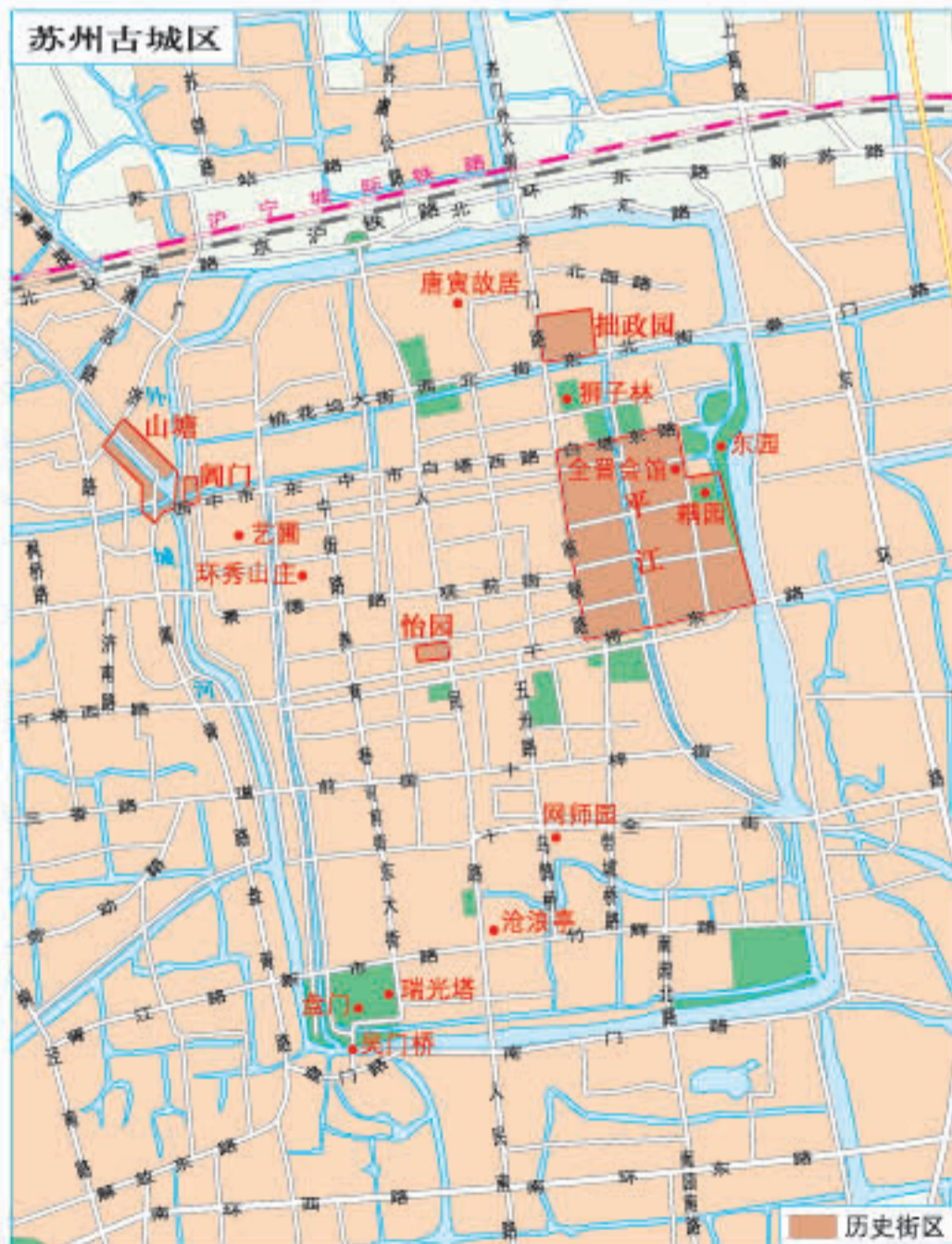


智利瓦尔帕莱索

► 瓦尔帕莱索曾是欧洲人绕行南美洲南端的停靠点。大批欧洲人来到这里，他们修筑的房屋继承了各式各样的欧洲风格。



苏州古城



农业区位因素

世界小麦和水稻种植区及其南北界限 1:200 000 000

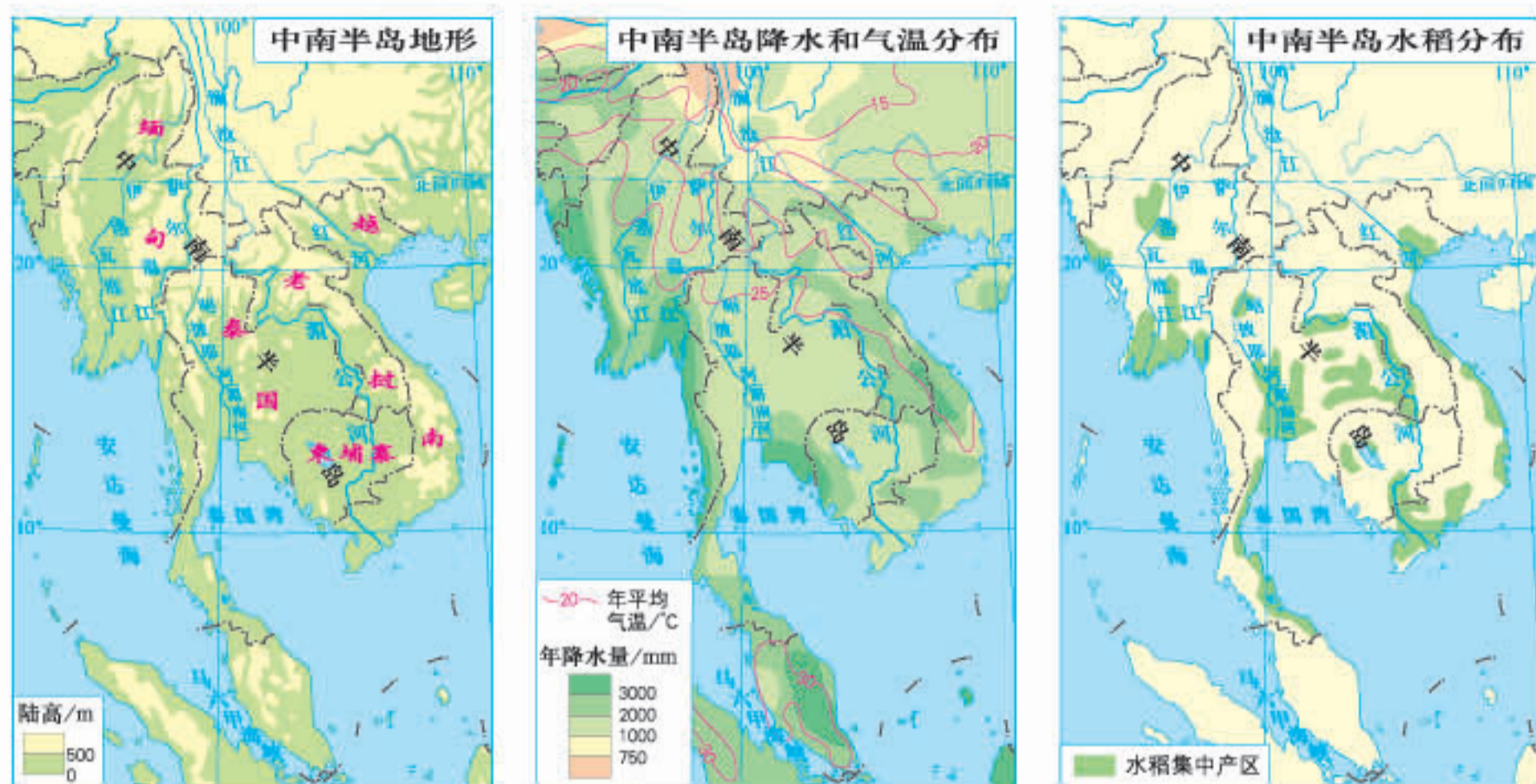


小麦和水稻生理活动的基本气温范围

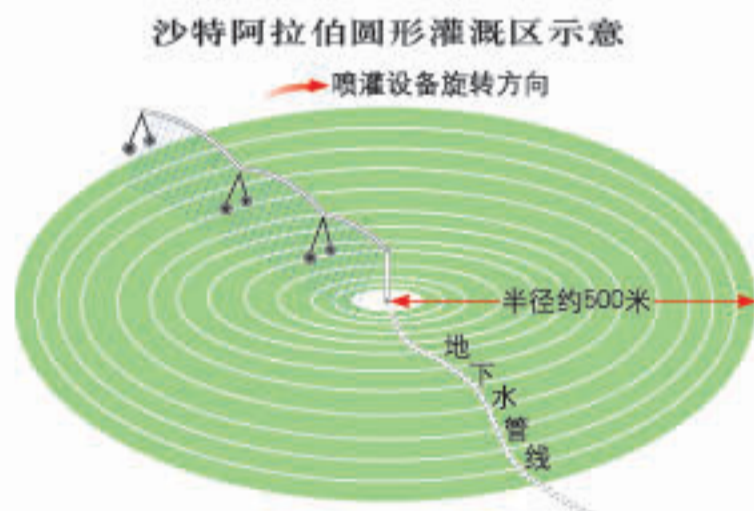
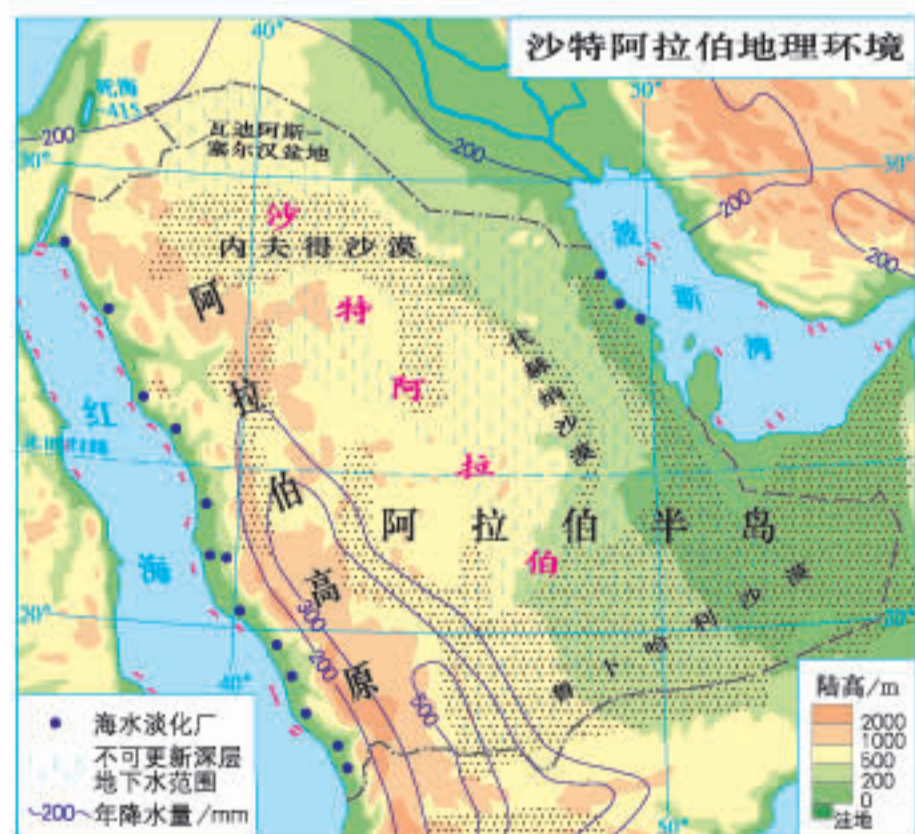
作物种类	最低气温/℃	最适气温/℃	最高气温/℃
小麦	3~4.5	20~22	30~32
水稻	10~12	30~32	36~38

中国苹果和柑橘优势区域分布 1:35 000 000





农业区位因素的变化

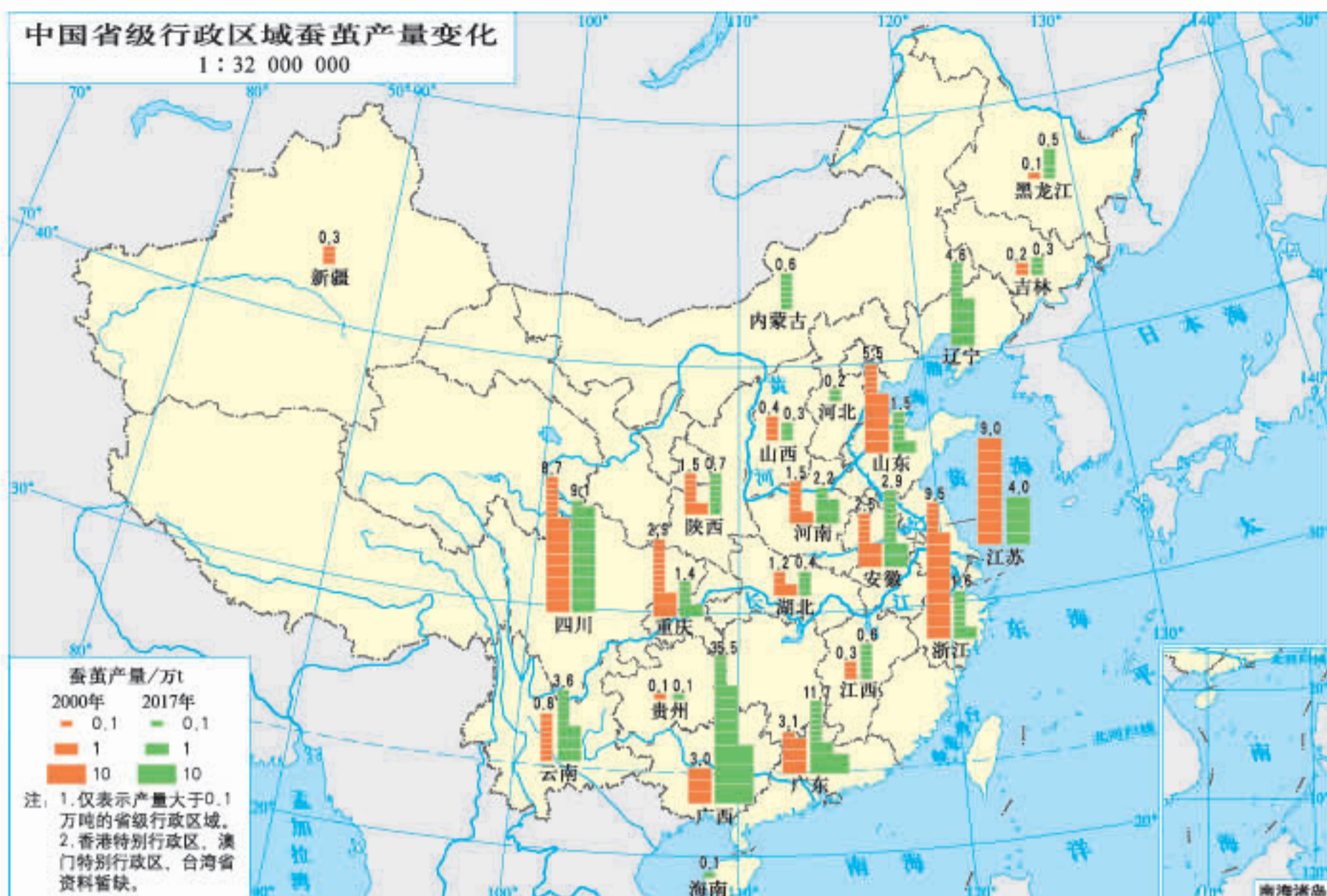


▲ 沙特阿拉伯大力应用节水技术，实施海水淡化和污水回用措施，发展耐旱作物。

卫星影像展示沙特阿拉伯瓦迪阿斯-塞尔汉盆地农业的变化 (1991—2012年)



▲ 图中绿色为农田，棕褐色为休耕期的农田，粉红色和黄色为干燥、贫瘠的地面(大部分是沙漠)。



美国本土蔬菜主要生产基地与物流运输“冷链化”



工业区位因素

中国制糖工业分布

1 : 35 000 000

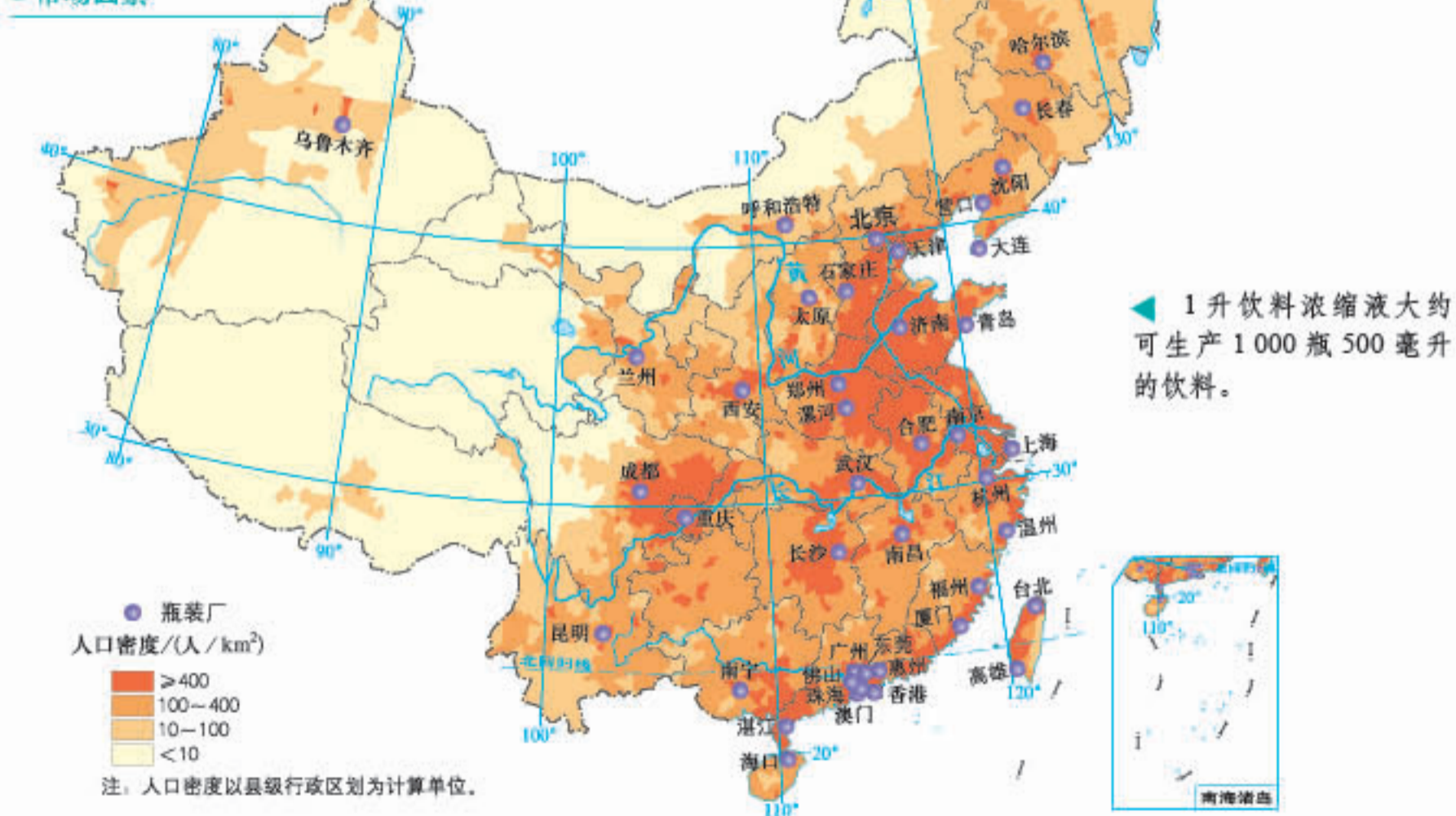
原料因素



某大型饮料企业在中国的瓶装厂分布

1 : 35 000 000

市场因素



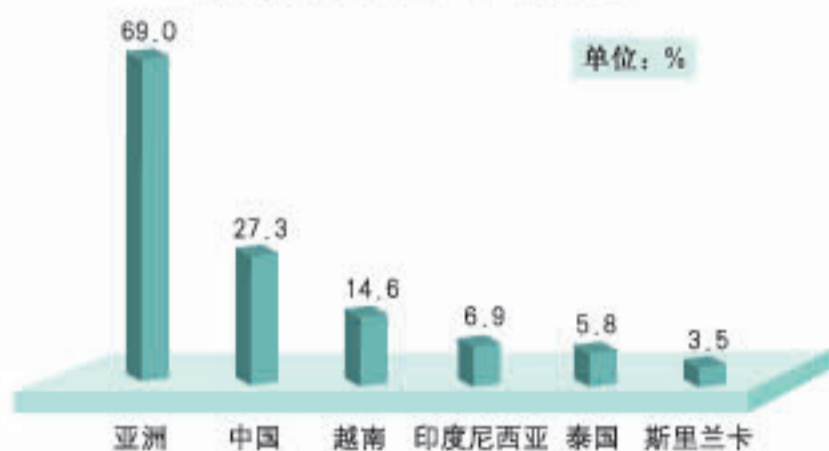
加拿大炼铝业

●动力因素



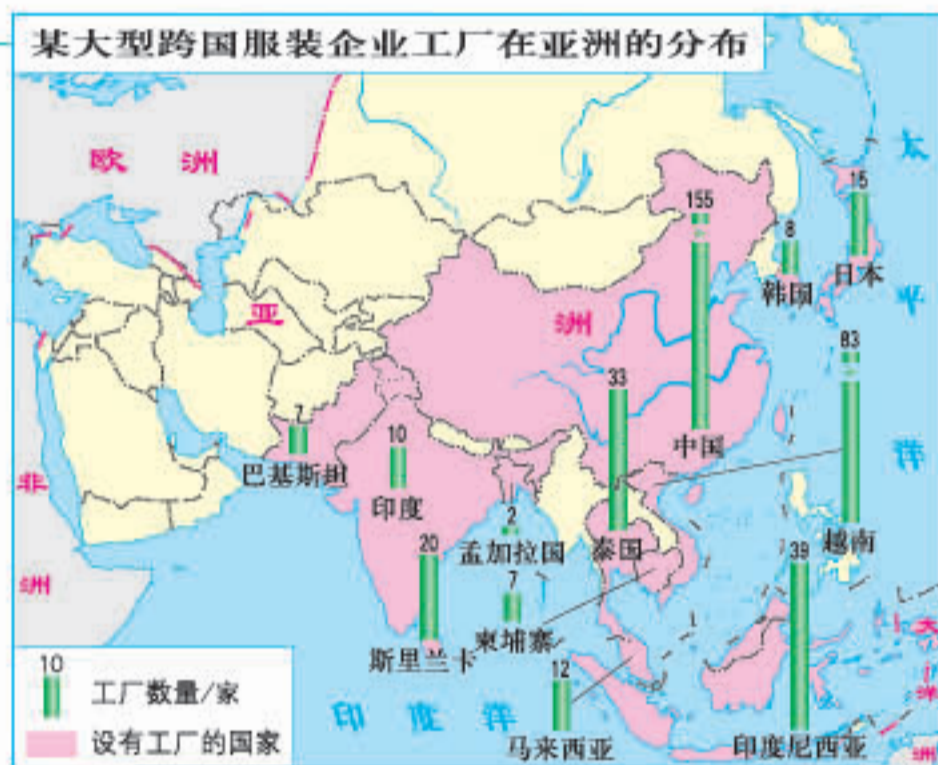
●劳动力因素

某大型跨国服装企业在亚洲及部分国家设立工厂的比重



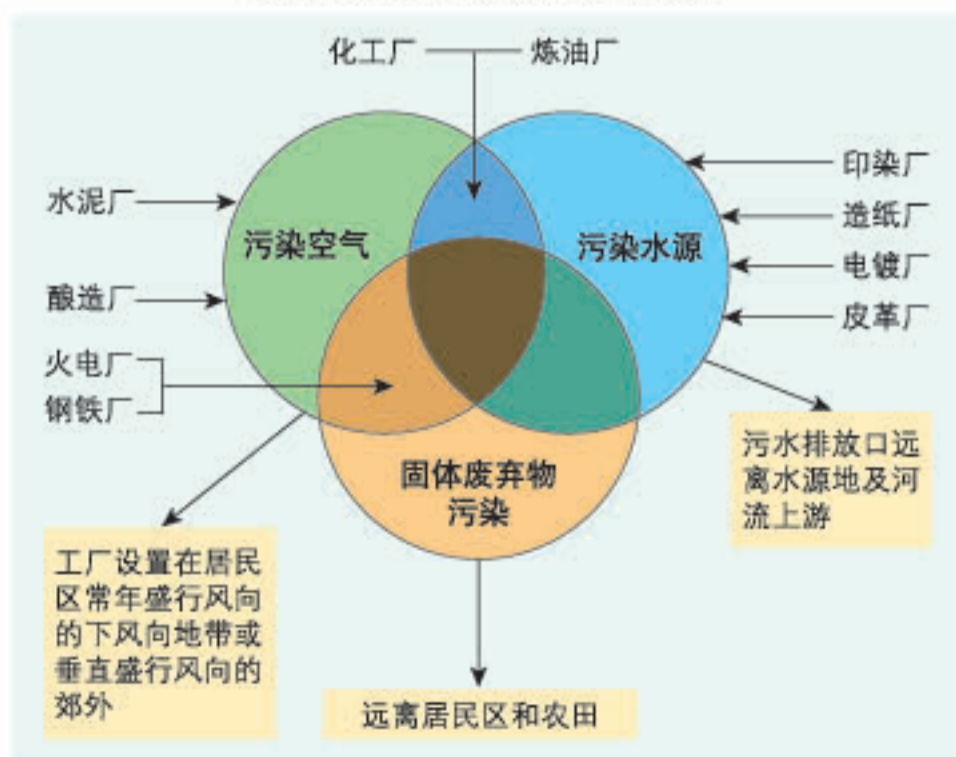
► 工厂主要集中在亚洲有大量廉价劳动力又交通便捷的国家。

某大型跨国服装企业工厂在亚洲的分布

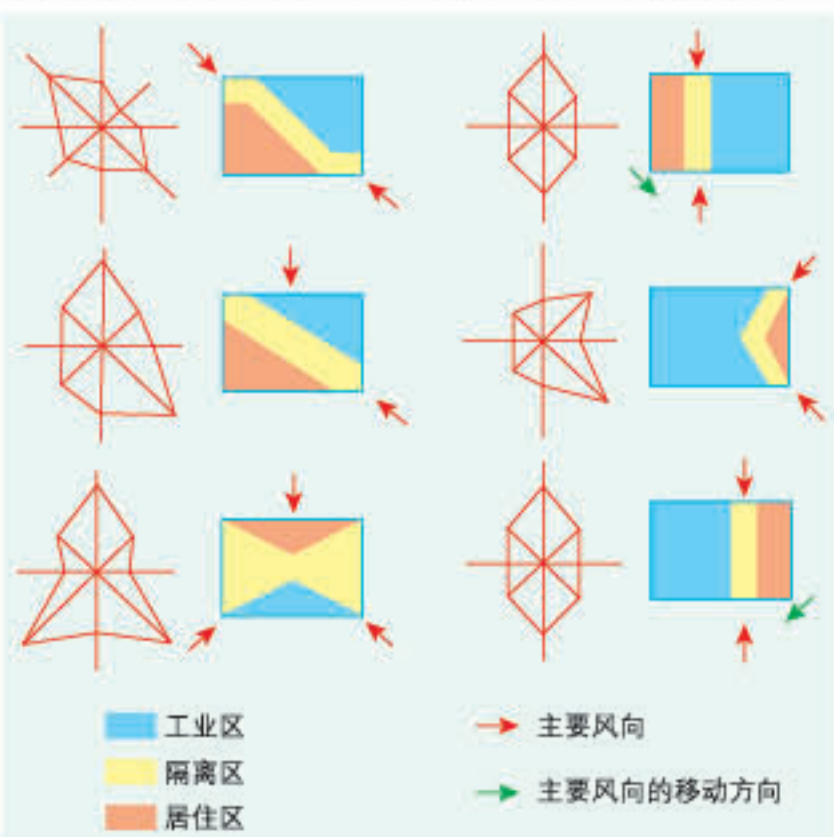


●环境因素

污染严重工业的区位选择



风向频率对工业区、居住区布局的影响示意



工业区位因素的变化

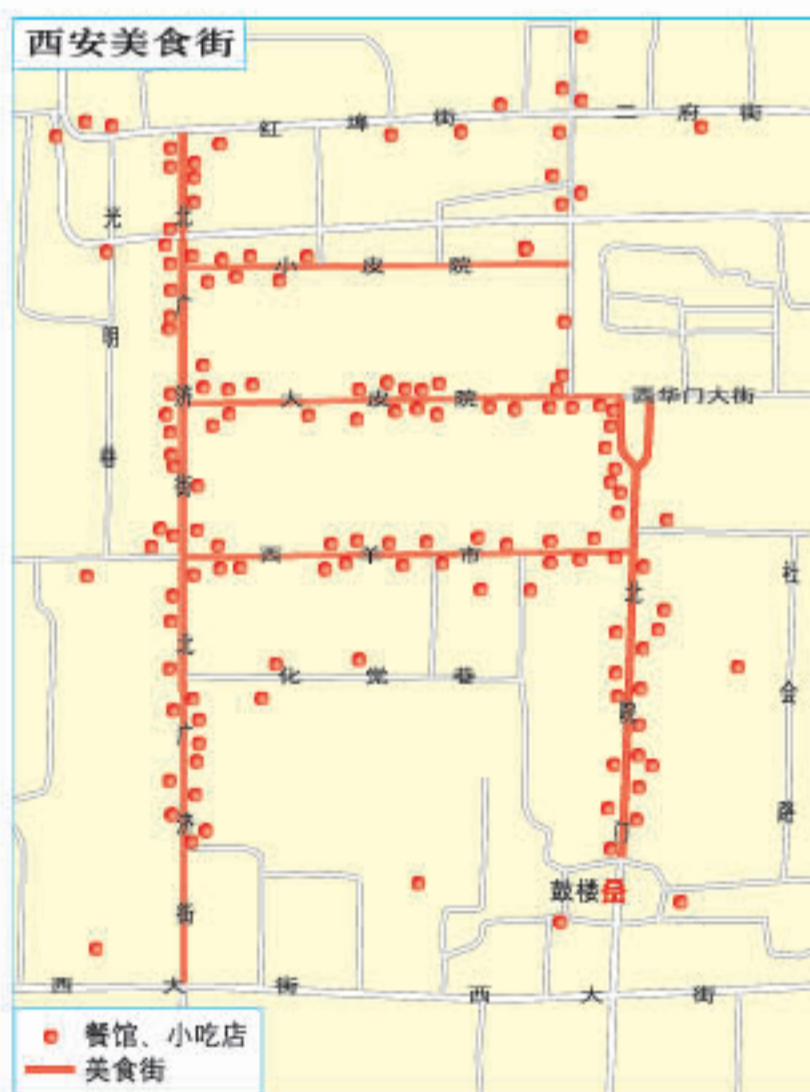
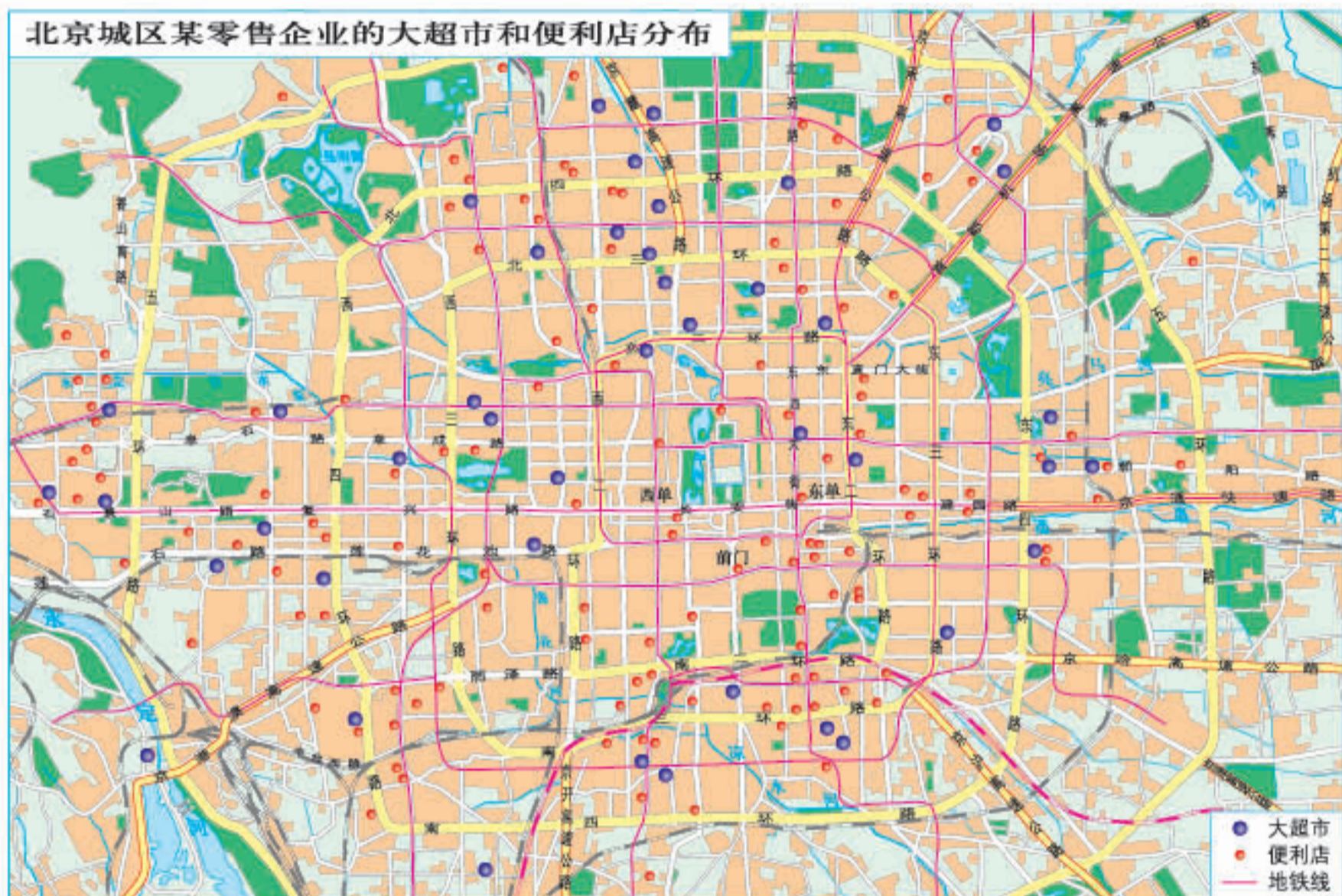
中国主要钢铁工业分布
1:35 000 000

中国拥有汽车企业总部的城市分布

为适应市场需求，汽车企业在中心城市建立总部。



服务业区位因素



▲ 城市里的美食街聚集了大量的餐馆、小吃店。





服务业区位因素的变化



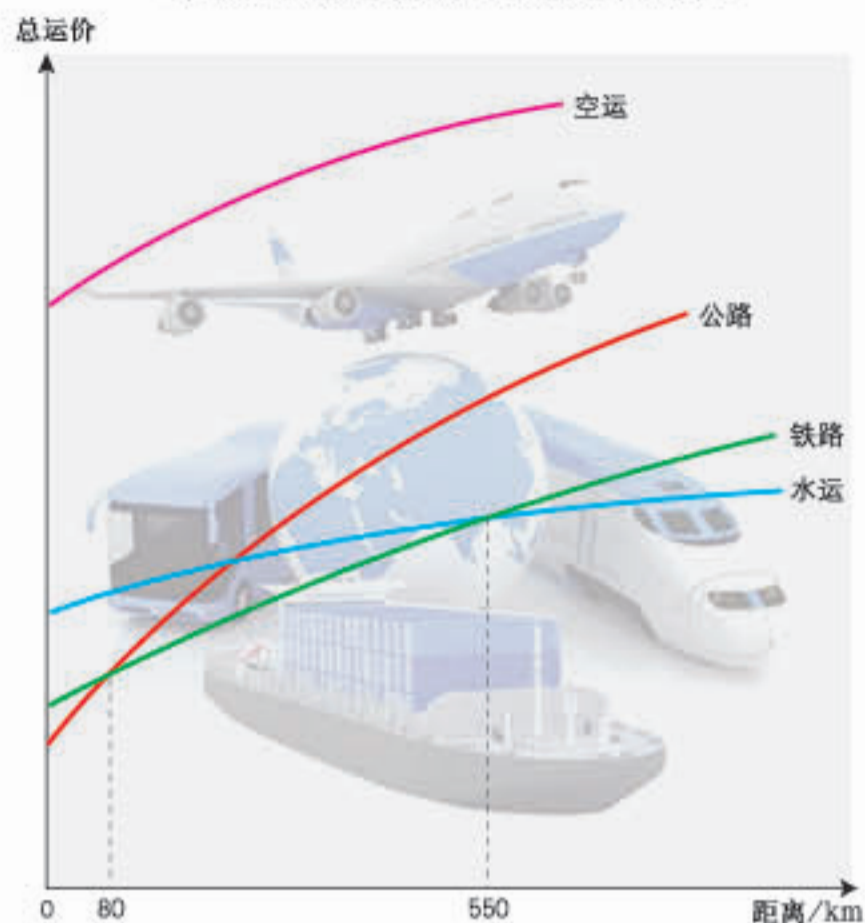
20世纪90年代初的上海陆家嘴



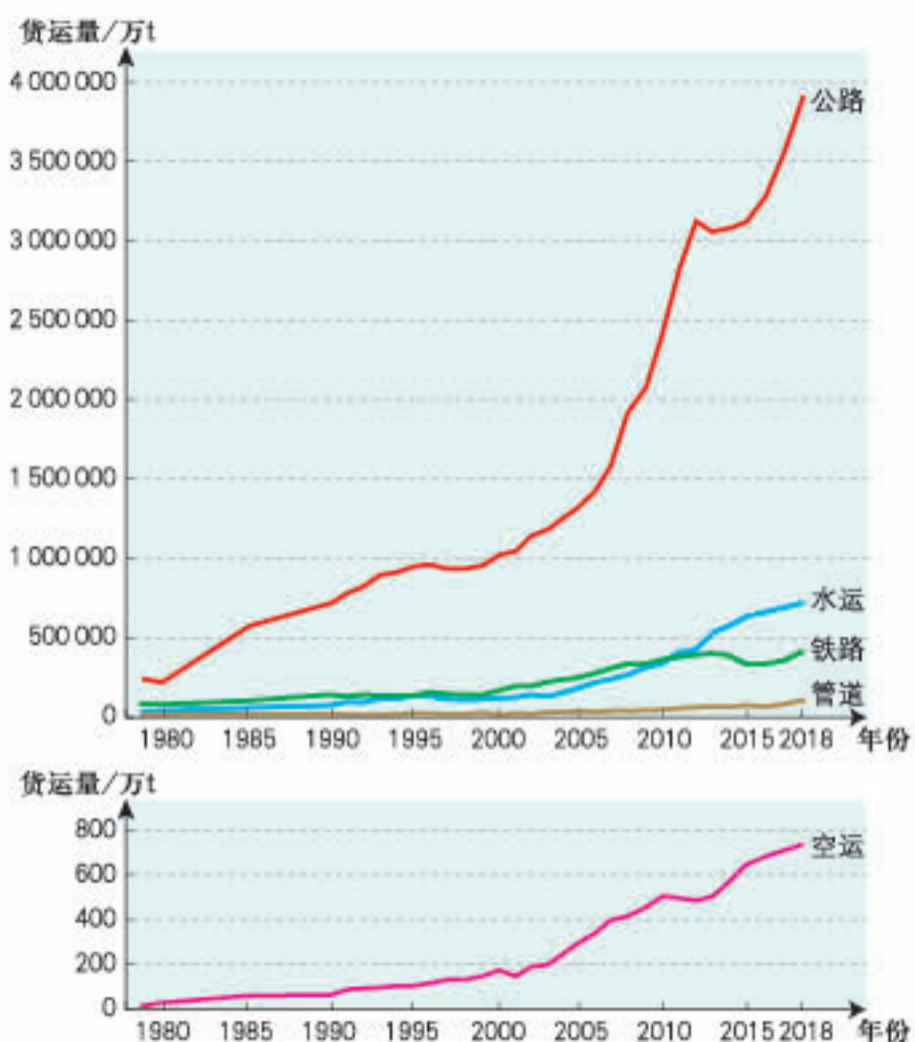
▲ 顺应国家开发开放上海浦东的重要决策, 陆家嘴逐渐成为我国重要的金融贸易区。

交通运输布局的一般原则

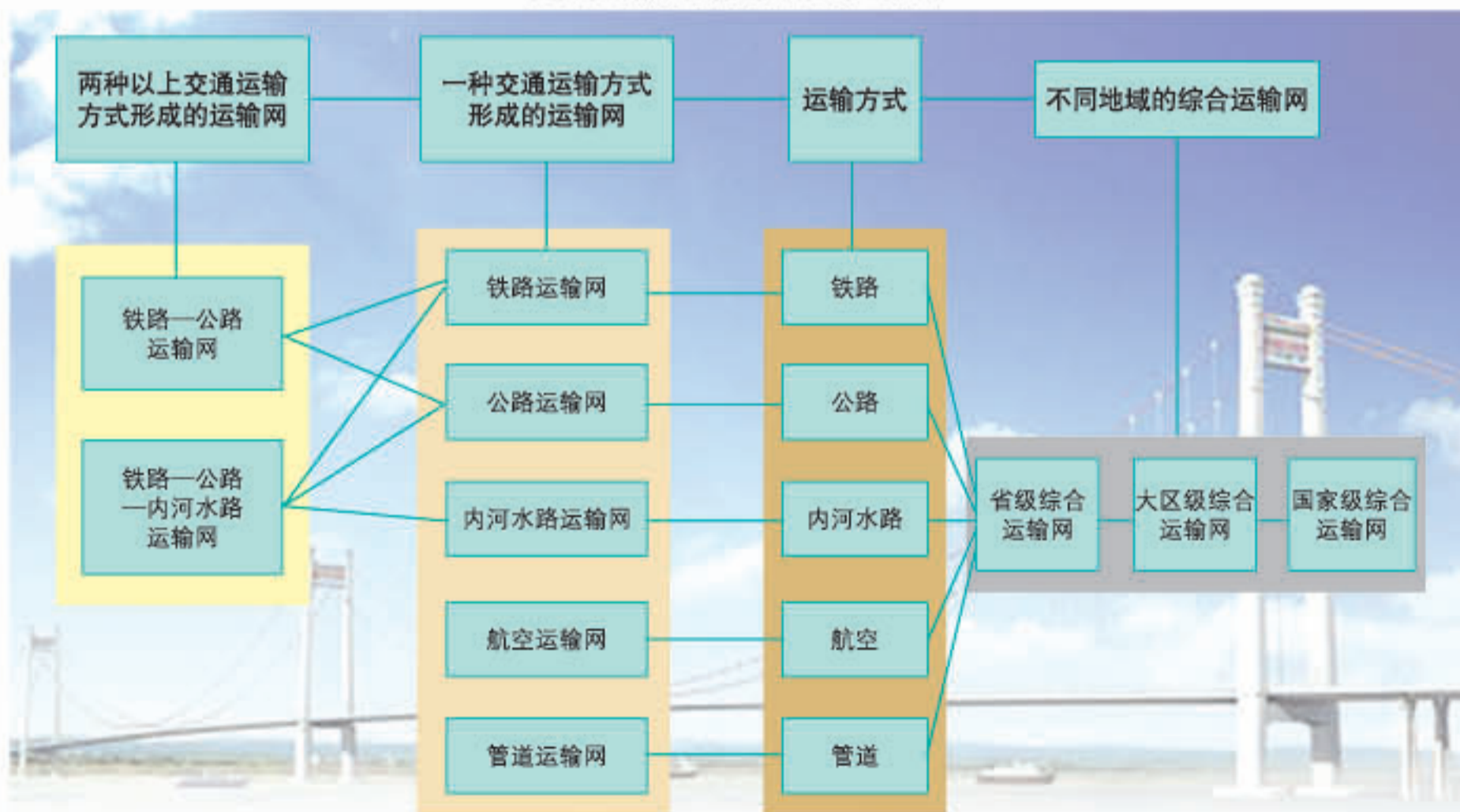
不同交通运输方式的成本比较



中国不同交通运输方式货运量的增长(1978—2018年)



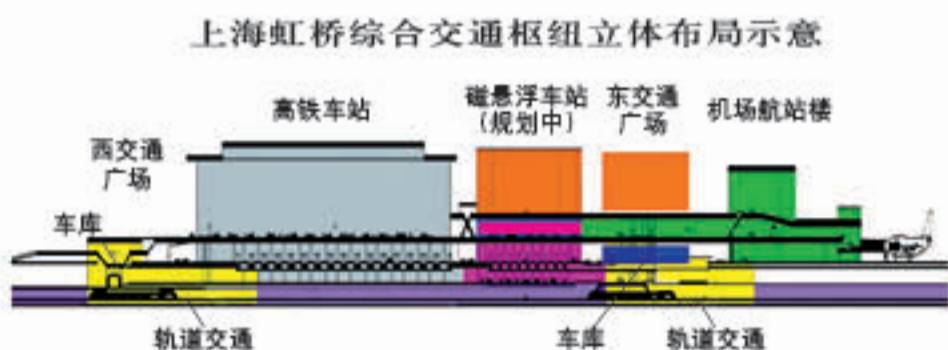
交通运输网络的形成和层次



交通运输需求与交通运输布局

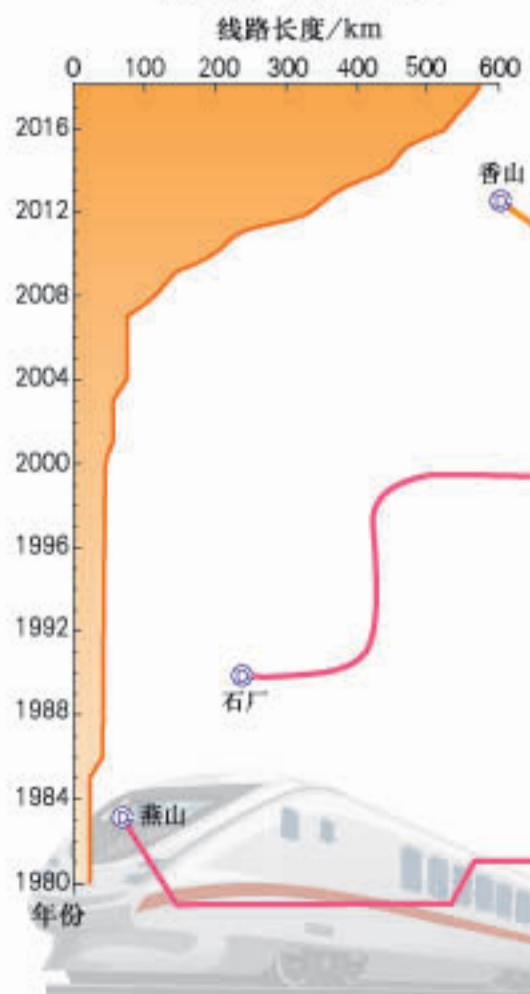


上海虹桥交通运输枢纽建设

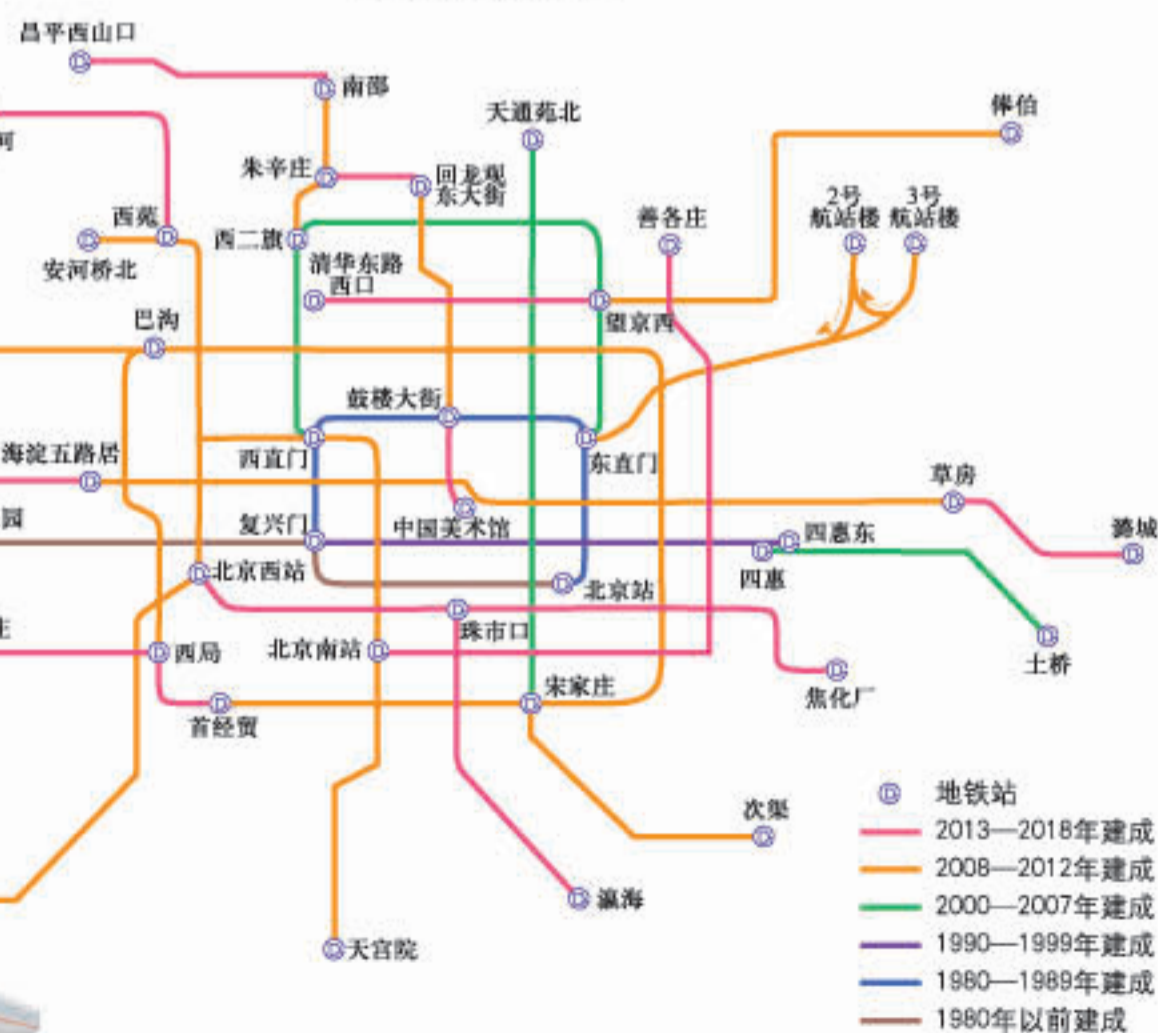


北京城市发展促进北京地铁建设

北京地铁运营线路长度变化 (1980—2018年)



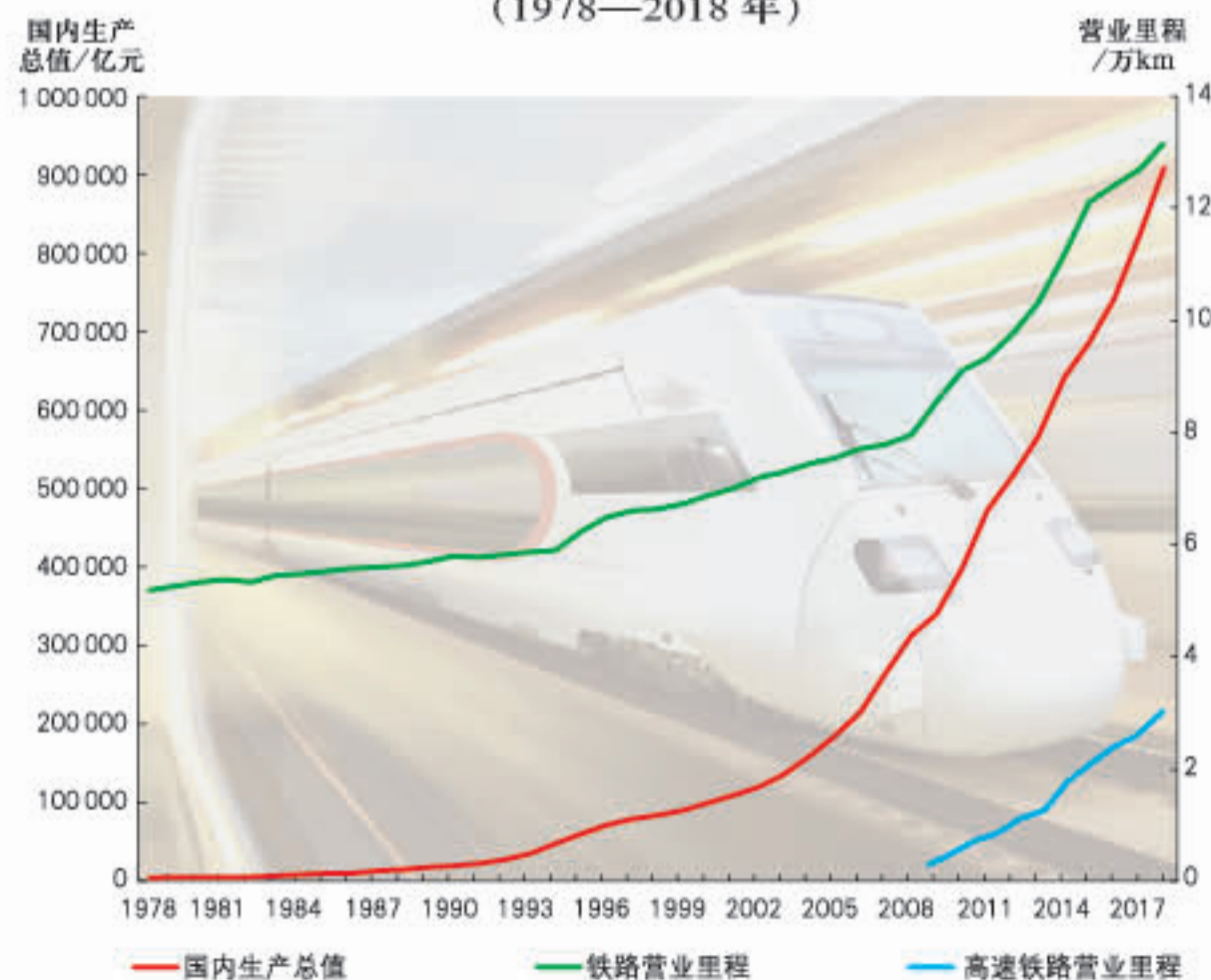
北京地铁分布



资金与交通运输布局



中国国内生产总值与铁路营业里程的增长
(1978—2018年)



中国普通铁路与高速铁路
平均建设成本比较



促进区域经济发展

“渝新欧”国际铁路联运大通道的打通促进重庆对外贸易



▲ “渝新欧”国际铁路联运大通道比海运节省时间约30天，运费仅为空运的1/5。

► “渝新欧”国际铁路货运班列全线运行约1.1万千米，用时约2周，运输全程只需一次报关，一次查验，全程放行。



部分中欧国际铁路货运班列运营情况 (2016年)



中缅油气管道的全面开通促进中国西南地区经济发展



通过中缅油气管道进口石油量



◀ 中缅油气管道为西南地区经济发展提供能源支持。

合福高速铁路的建成促进沿线旅游业发展

合福高速铁路及沿线旅游景点分布



合肥到福州各类型列车运行时间对比

运行时间/h



注: K指快速列车,
D指动车组列车,
G指高速列车。

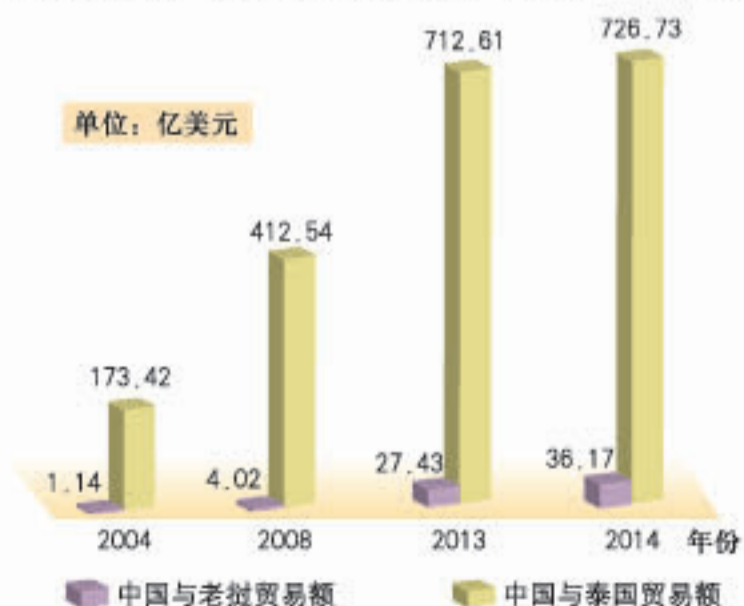
合福高速铁路开通前后黄山旅游人数和收入变化



注: 合福高速铁路于2015年6月28日正式开通。

昆曼公路的建成促进中国与老挝、泰国的贸易发展

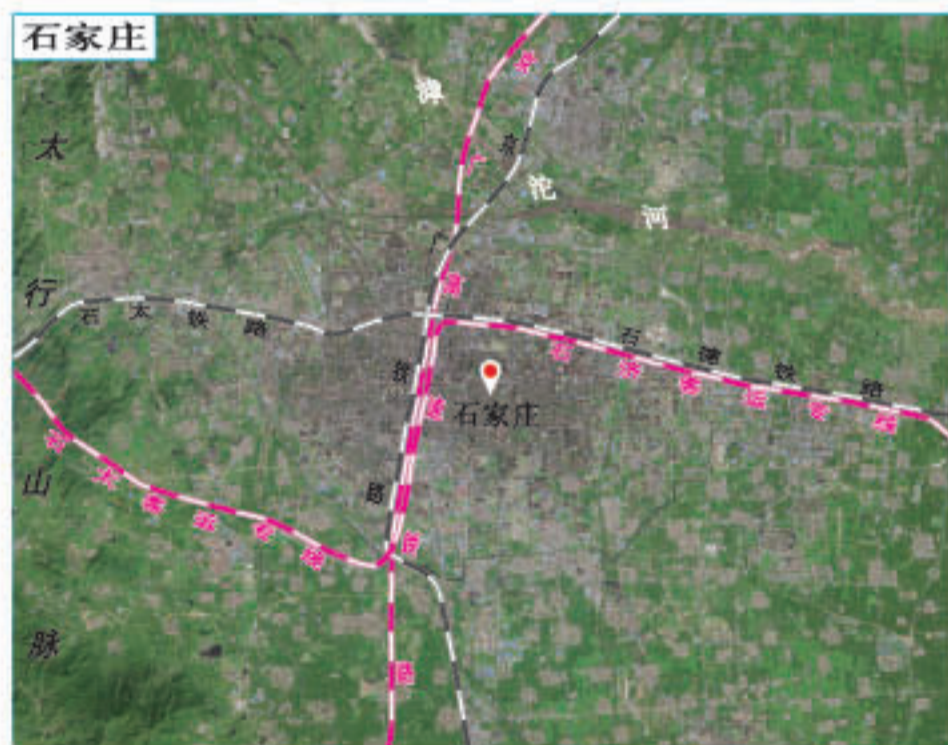
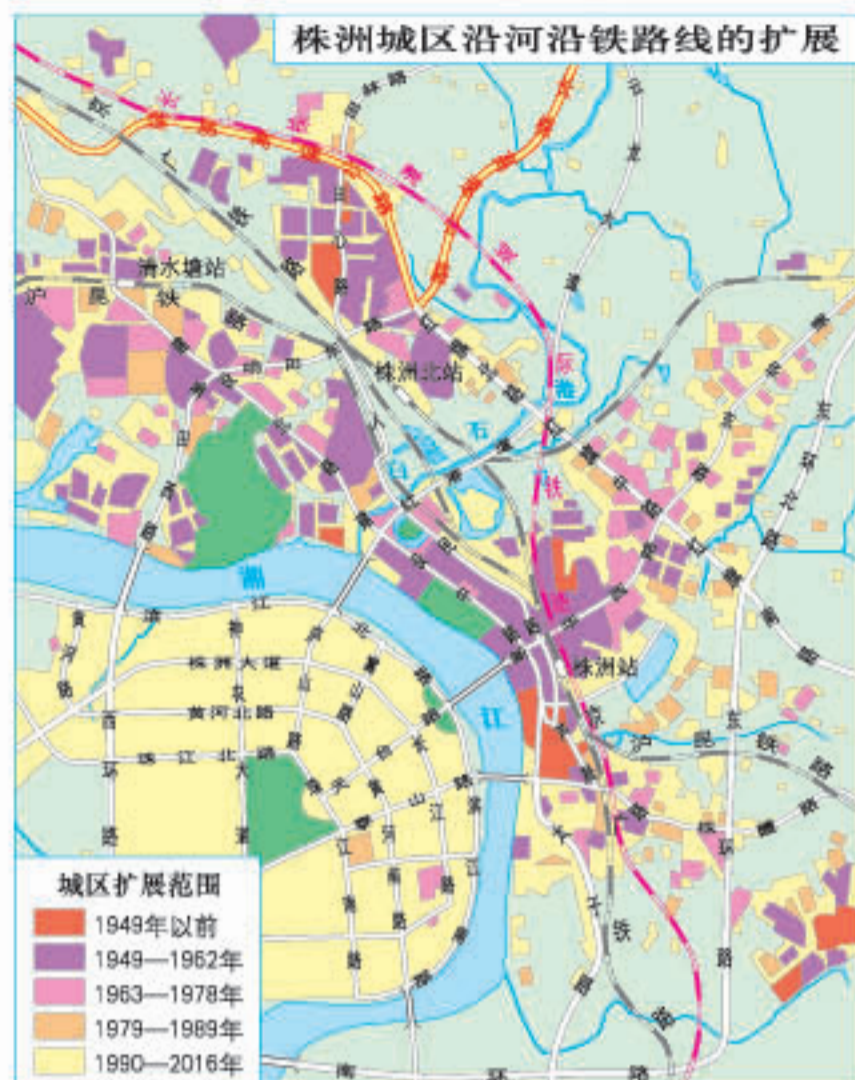
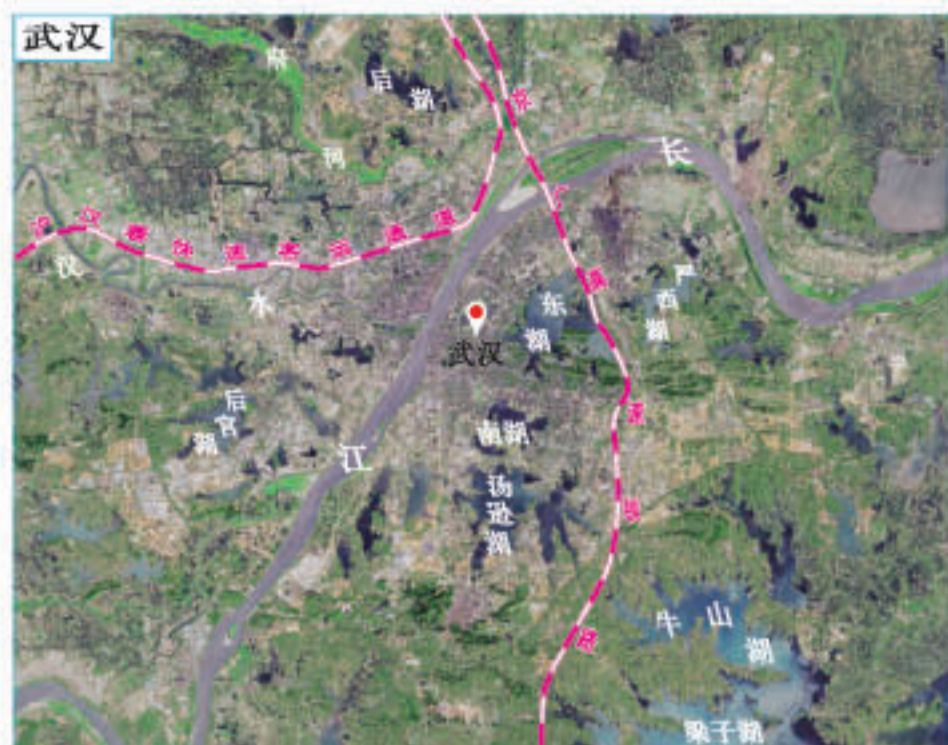
中国与老挝、泰国贸易额变化(2004—2014年)



昆曼公路分布

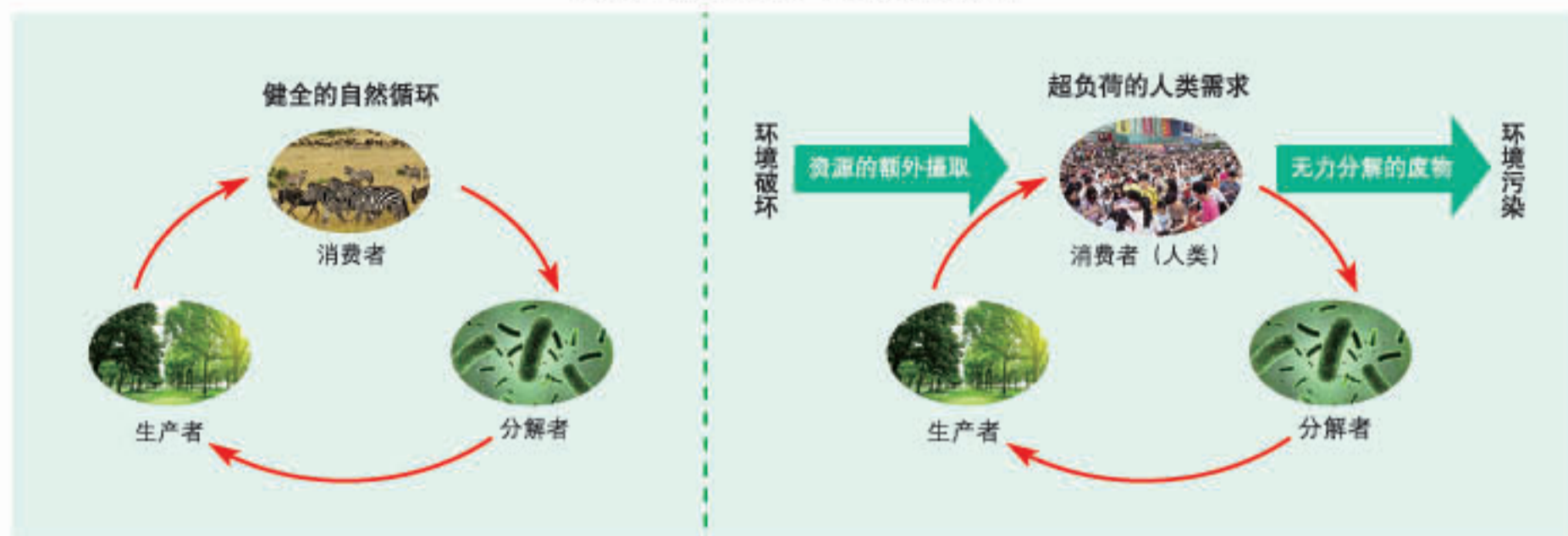


影响聚落发展

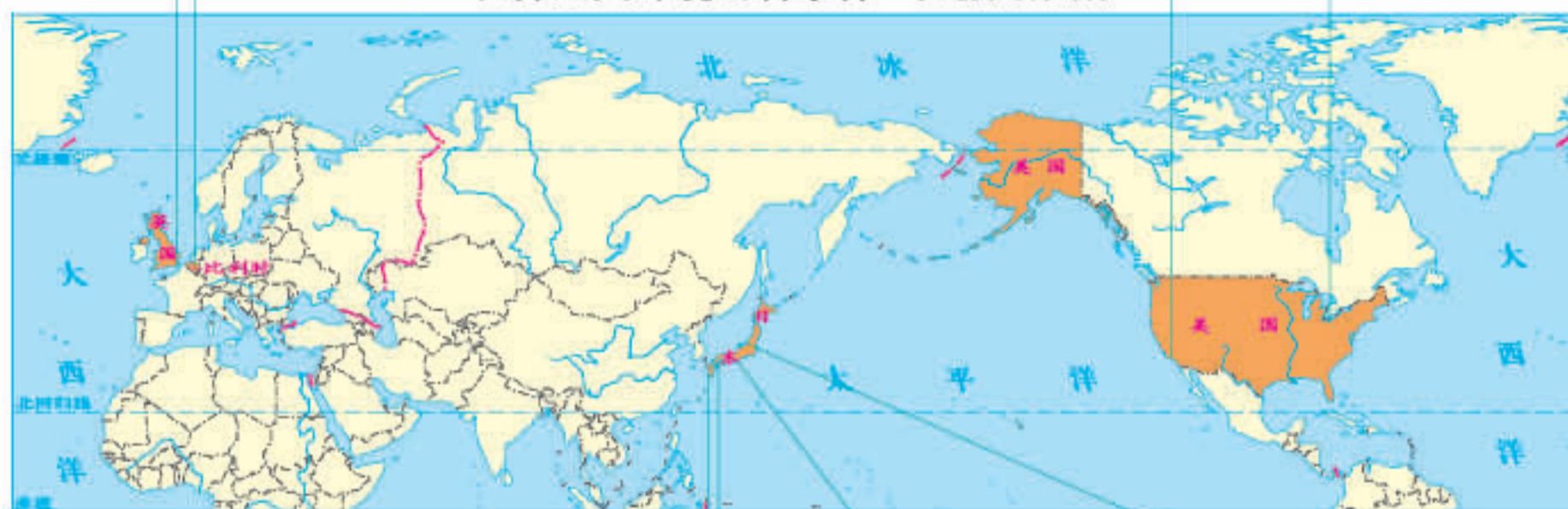


环境问题及其产生的原因

人类过度消费产生环境问题

英国伦敦烟雾事件
(1952年)比利时马斯河谷烟雾事件
(1930年)美国洛杉矶光化学烟雾事件
(1943年)美国多诺拉烟雾事件
(1948年)

世界八大环境公害事件 1:230 000 000

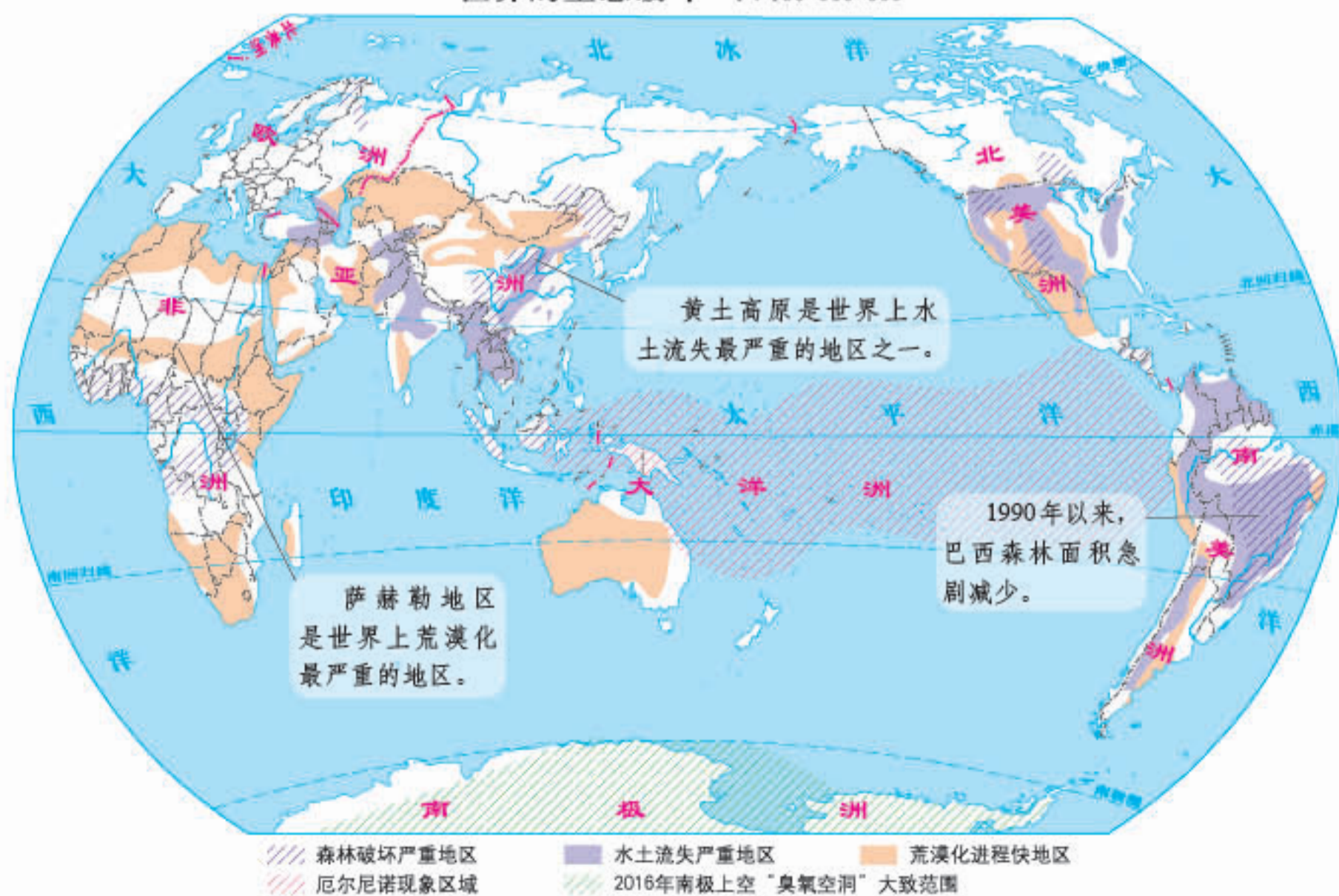
日本熊本县水俣病事件
(1953—1961年)日本新潟县米糠油事件
(1968年)日本四日哮喘病事件
(1955年)日本富山骨痛病事件
(1931—1975年)

环境问题的表现

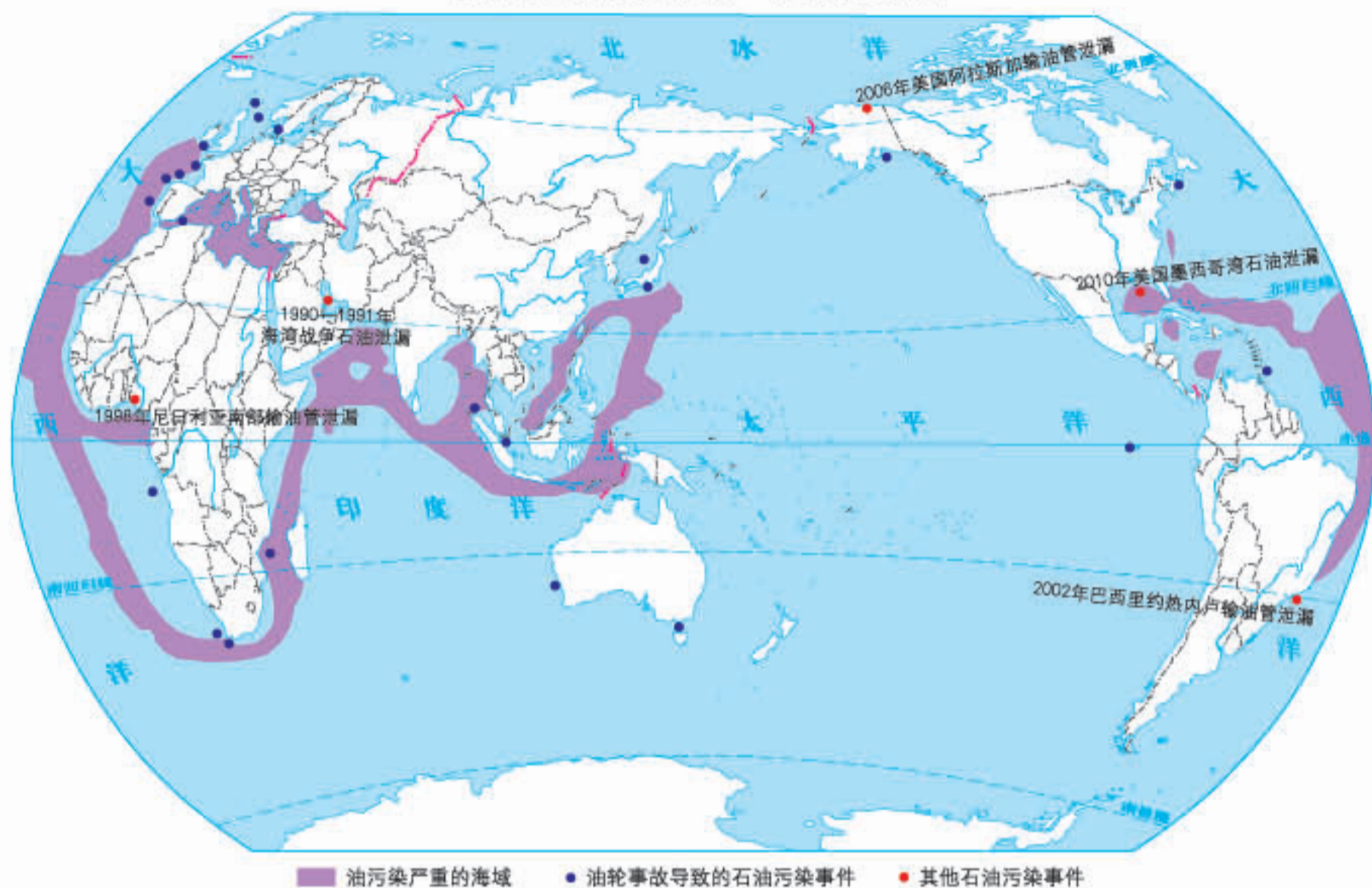
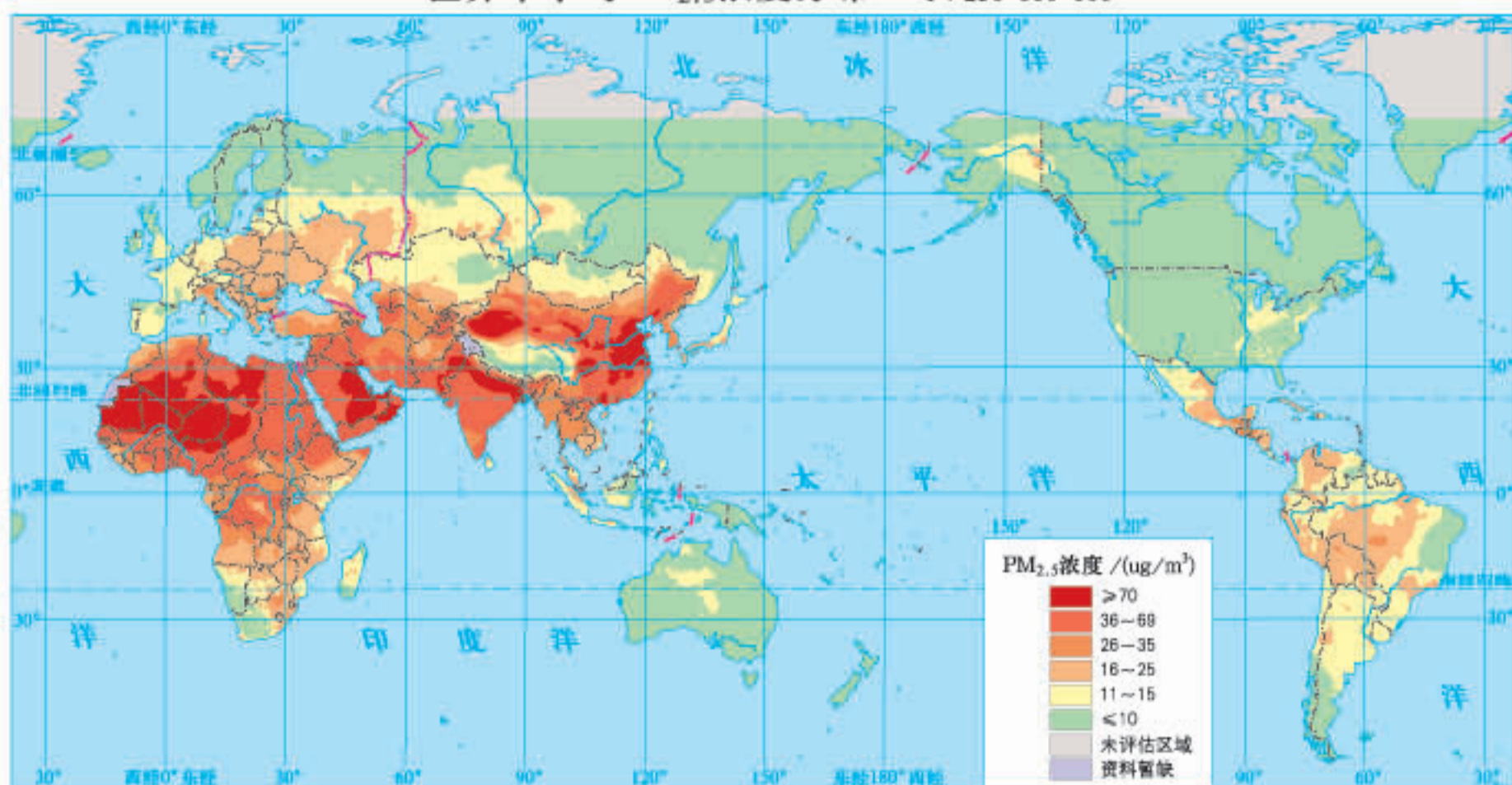
主要环境问题举例



世界的生态破坏 1 : 180 000 000



世界主要石油污染 1:180 000 000

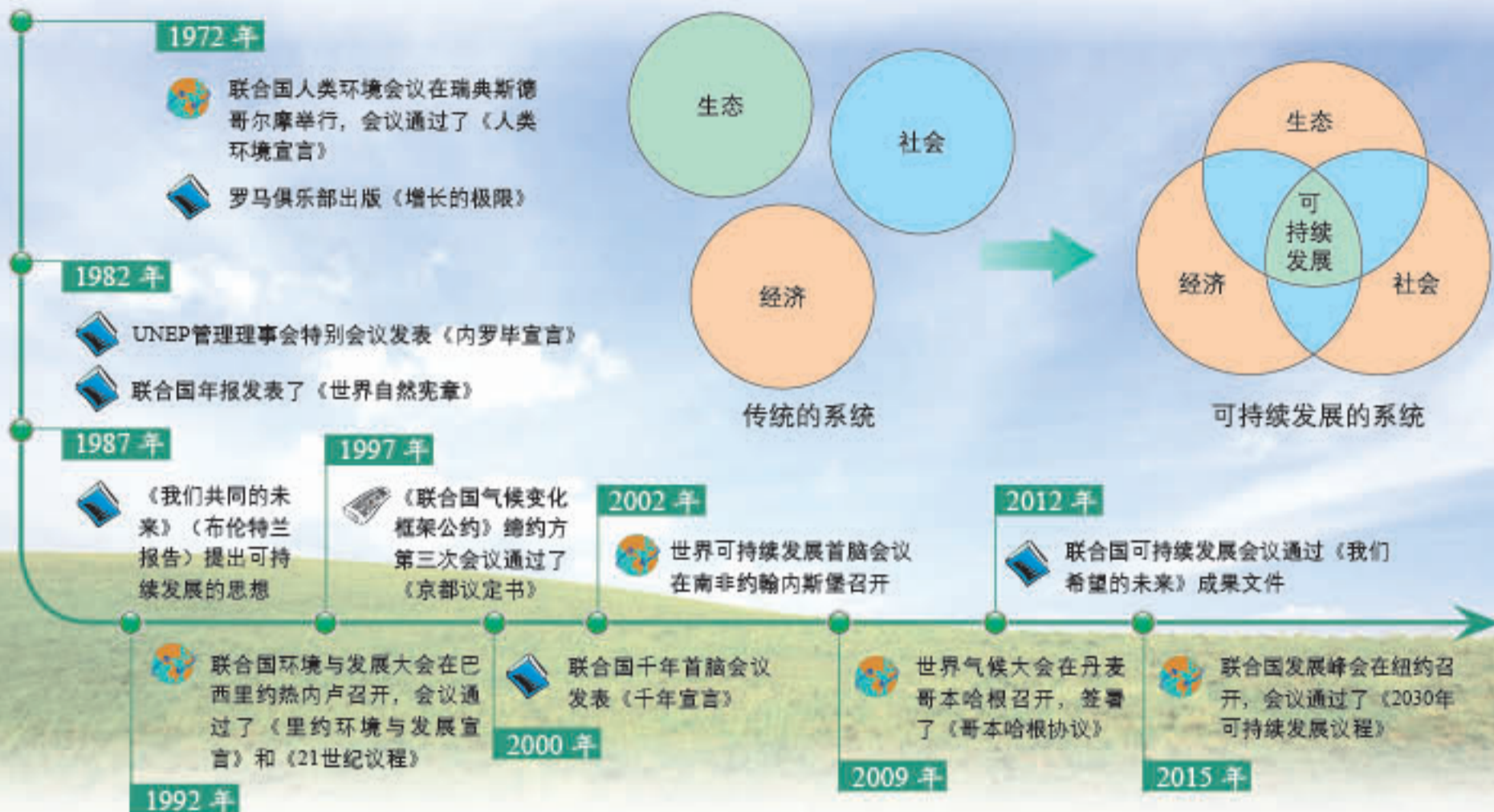
世界年平均PM_{2.5}浓度分布 1:230 000 000

注：资料来源于2016年世界卫生组织（WHO）发布的报告——《空气污染：全球评估曝光和疾病负担》。

可持续发展的内涵

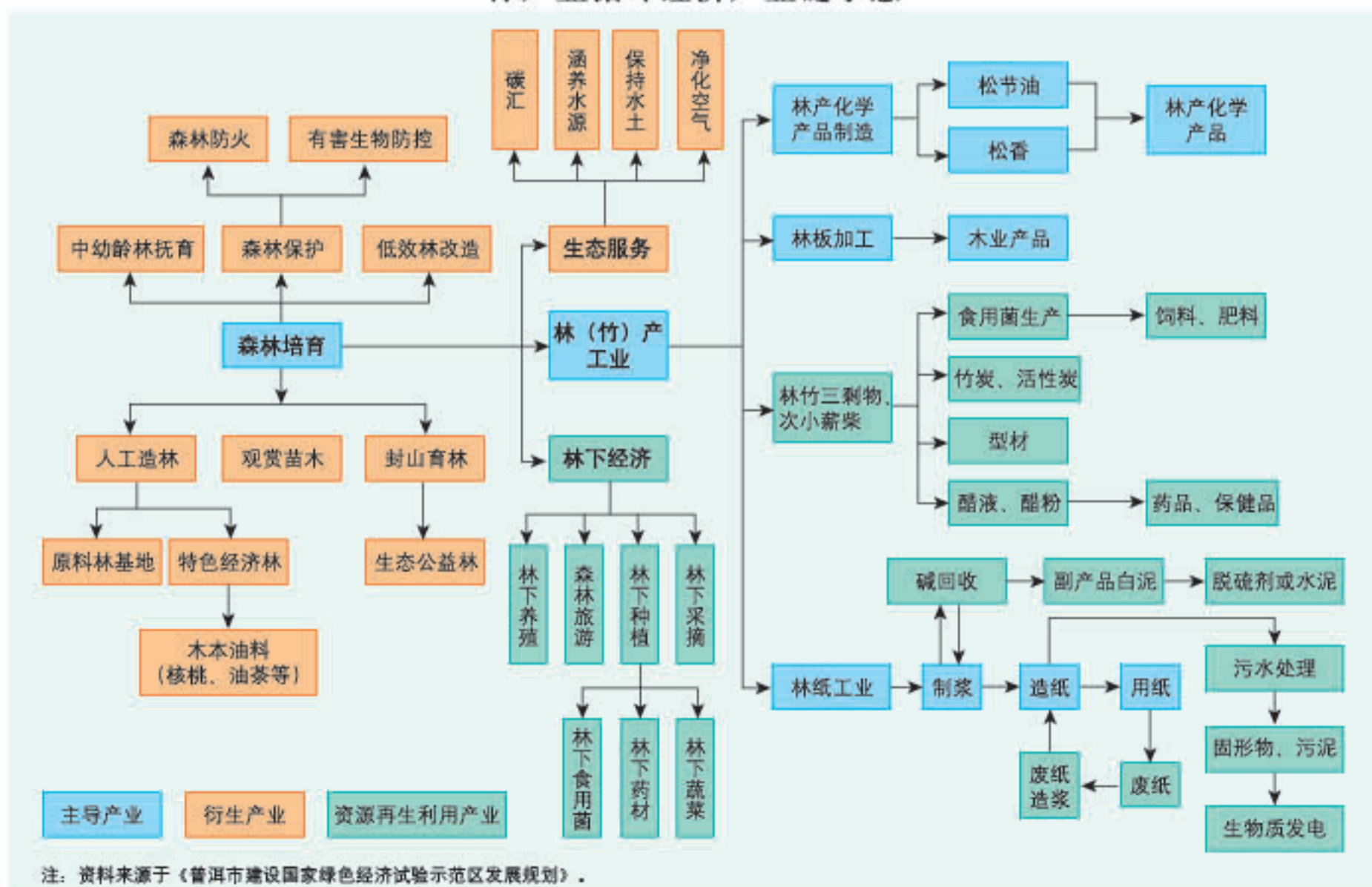
环境与发展国际大事件

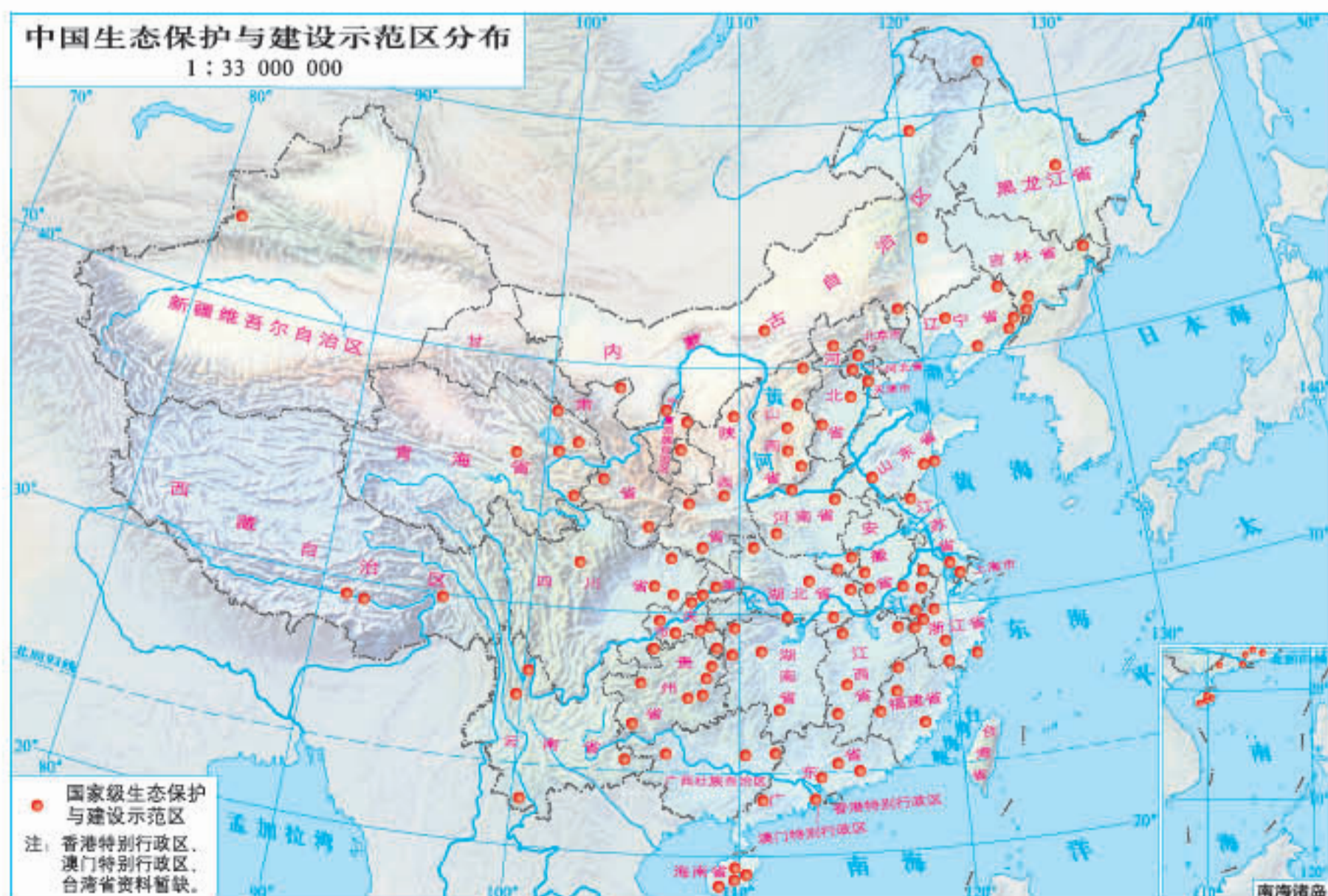
从传统系统到可持续发展系统



走可持续发展道路

林产业循环经济产业链示意

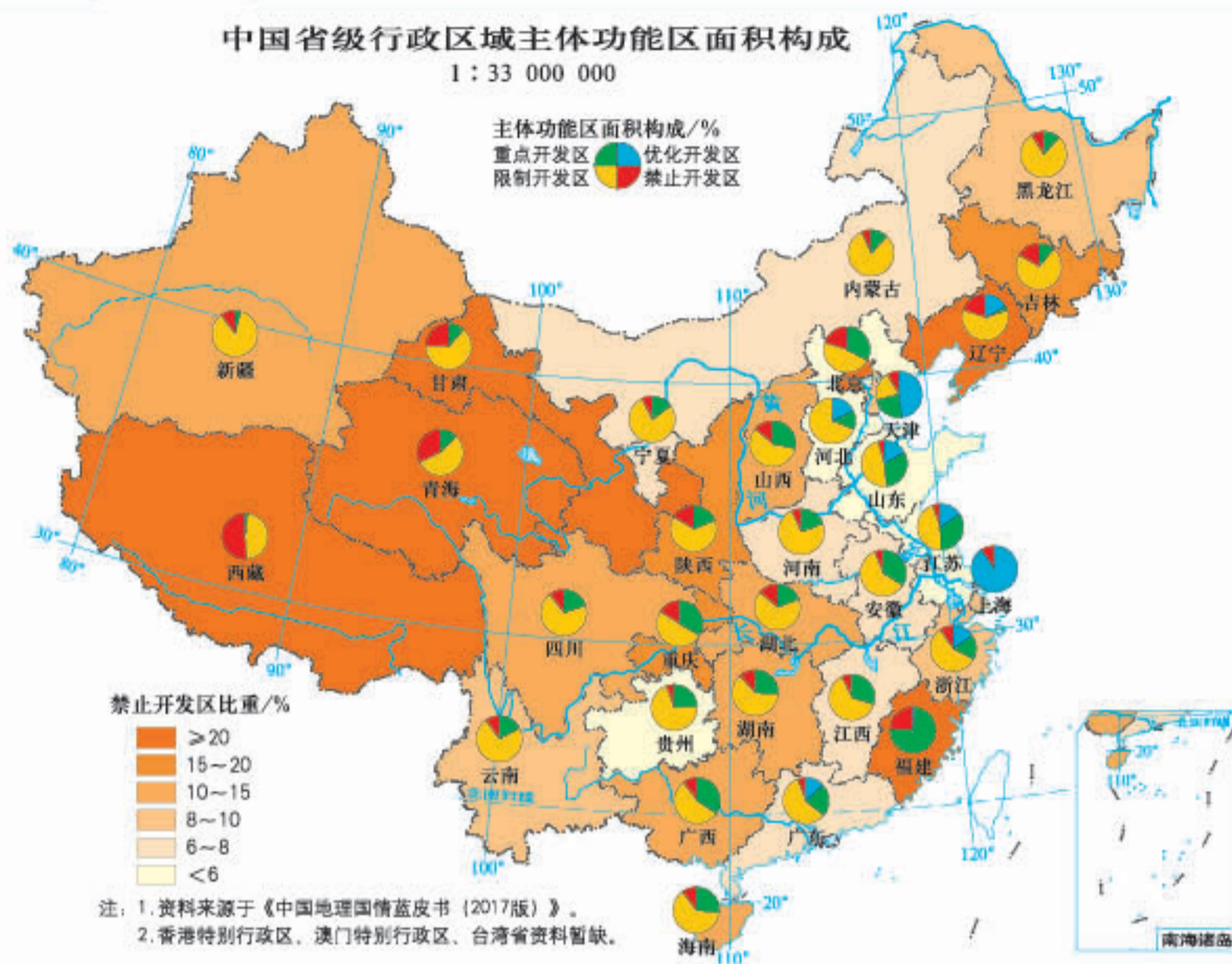




建设主体功能区

中国省级行政区域主体功能区面积构成

1 : 33 000 000



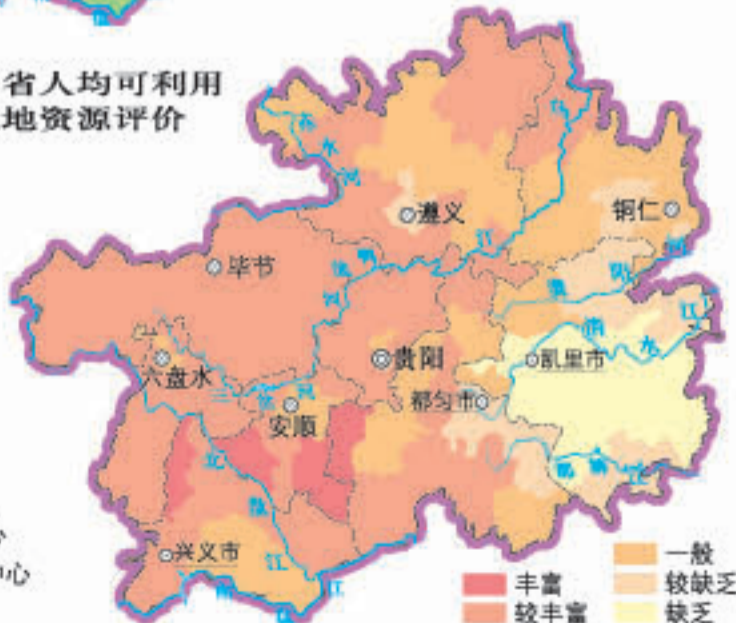
贵州省主体功能区划分



贵州省生态系统脆弱性评价



贵州省人均可利用土地资源评价



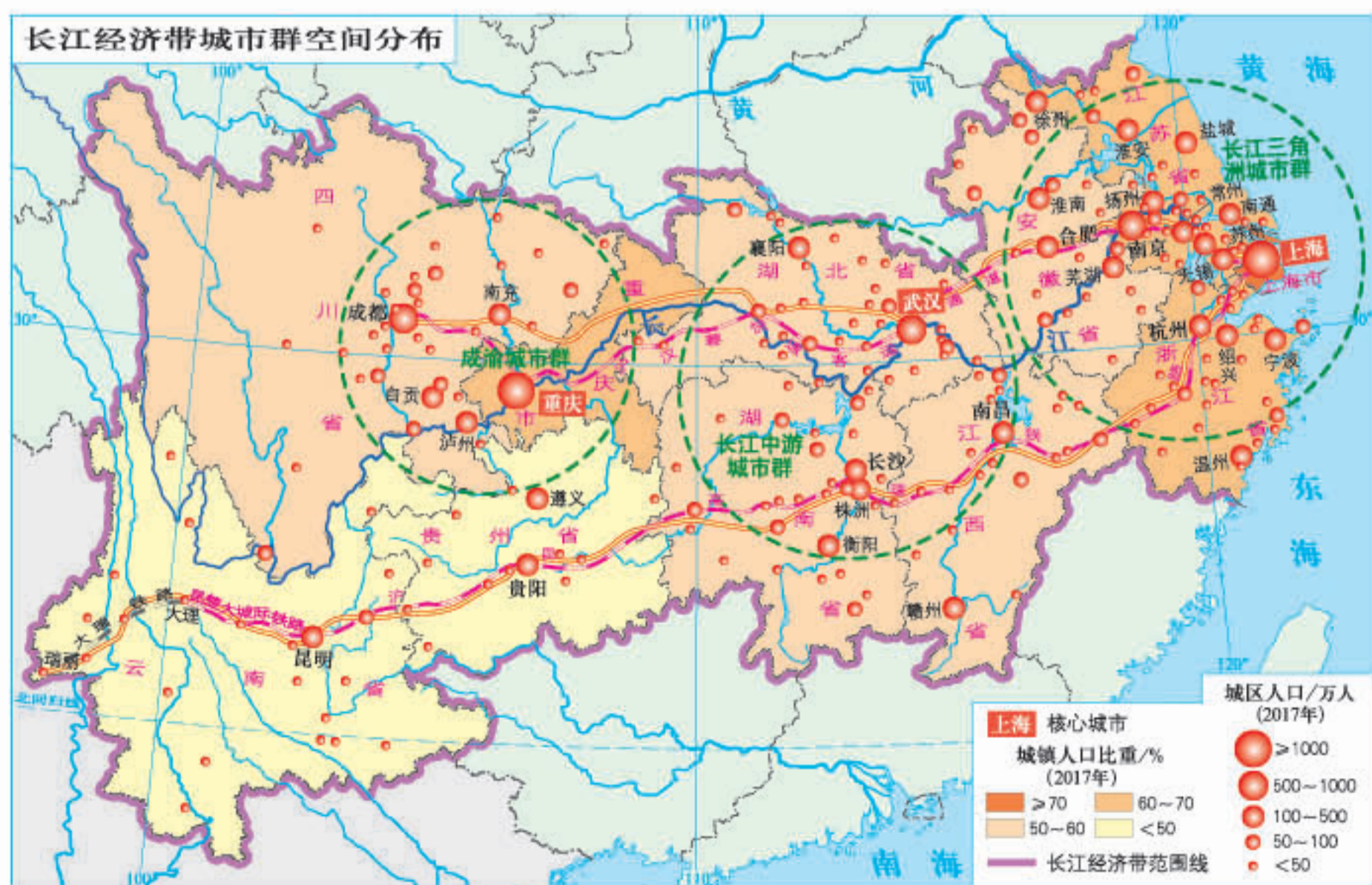
贵州省人均可利用水资源评价

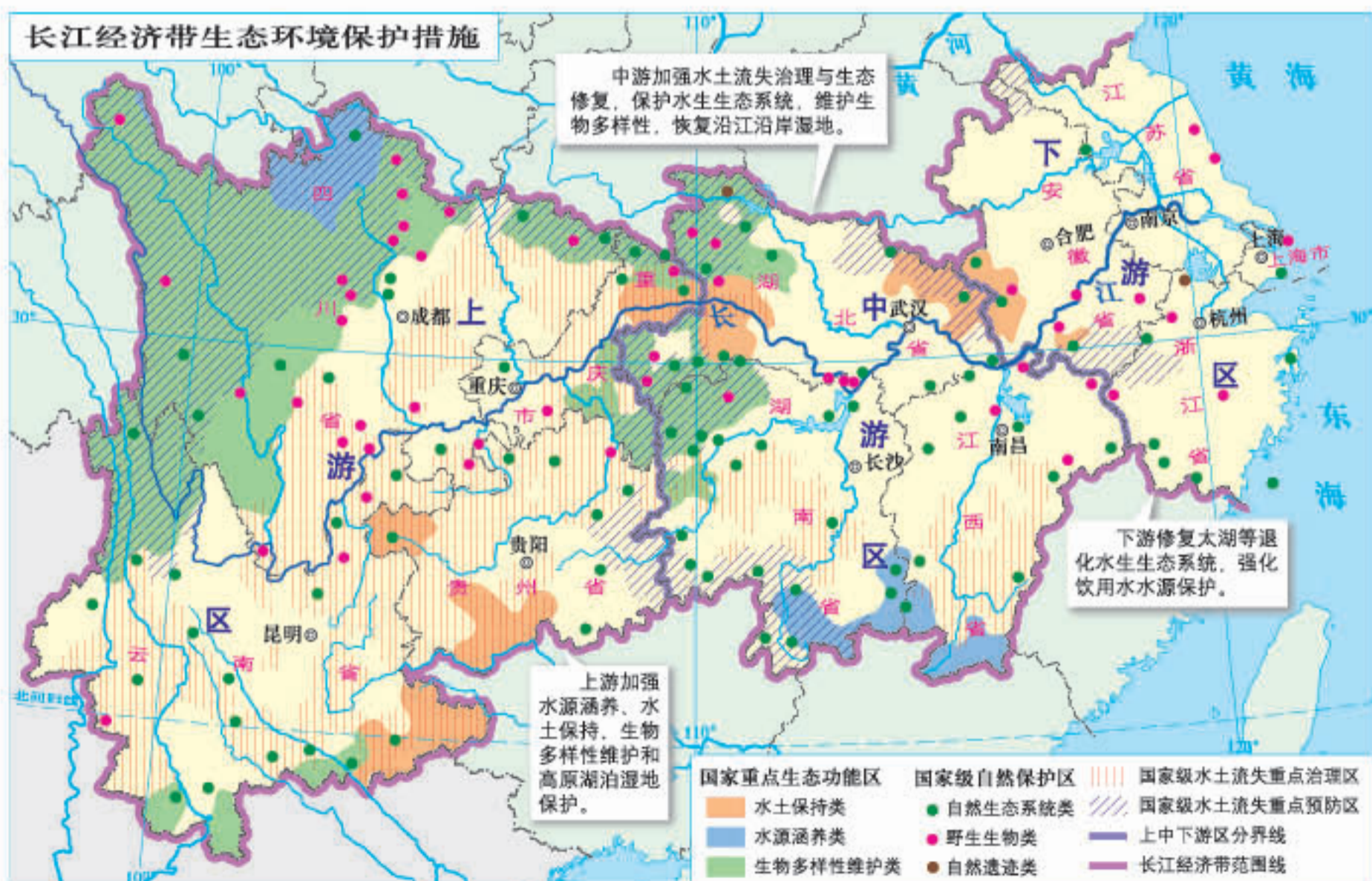


○ 遵义 地级行政中心
 ○ 凯里市 自治州行政中心
 —— 地级界

注：资料来源于《贵州省主体功能区划分》。

推动区域协调发展





注：根据《中国地理国情蓝皮书（2017版）》《全国水土保持规划（2015—2030年）》绘制。

拓展蓝色经济空间



维护海洋权益

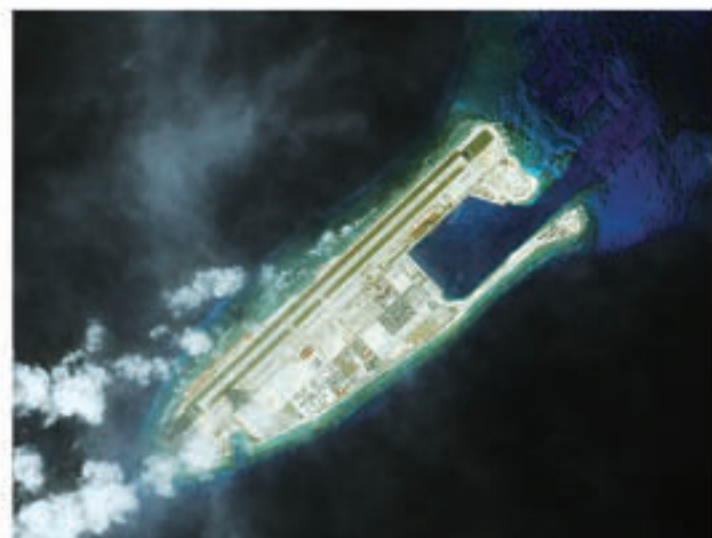


海南省包括海南岛和西沙群岛、中沙群岛、南沙群岛。东沙群岛属广东省管辖。



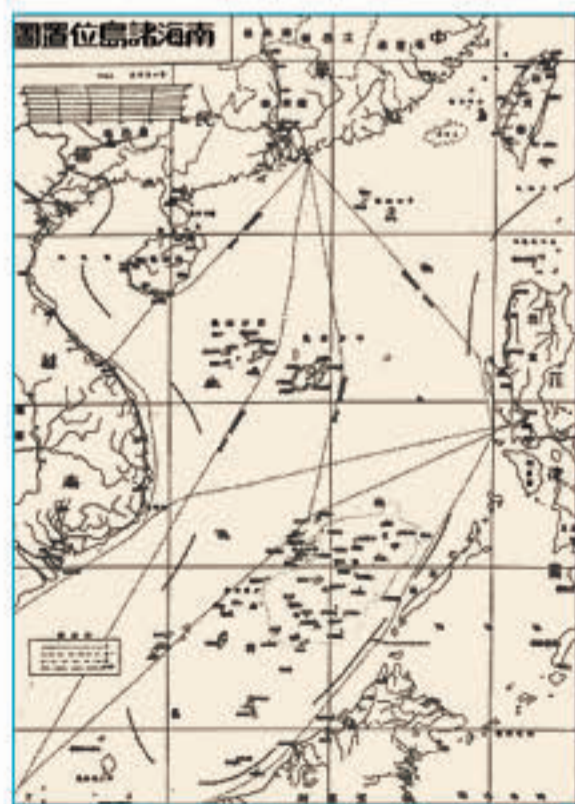
明代郑和绘制的《自宝船厂开船从龙江关出水直抵外国诸番图》(局部)

图中将南海诸岛分别标为“石塘”(西沙群岛)“万生石塘屿”(南沙群岛)“石星石塘”(中沙群岛)。

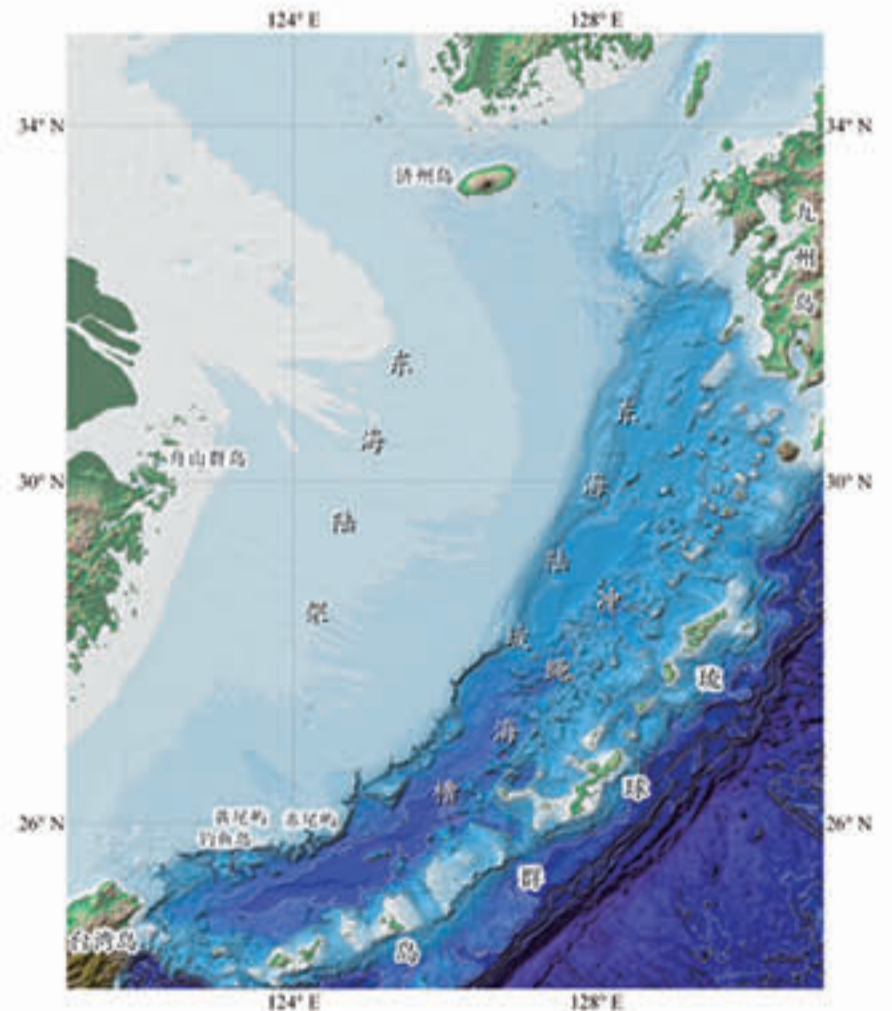
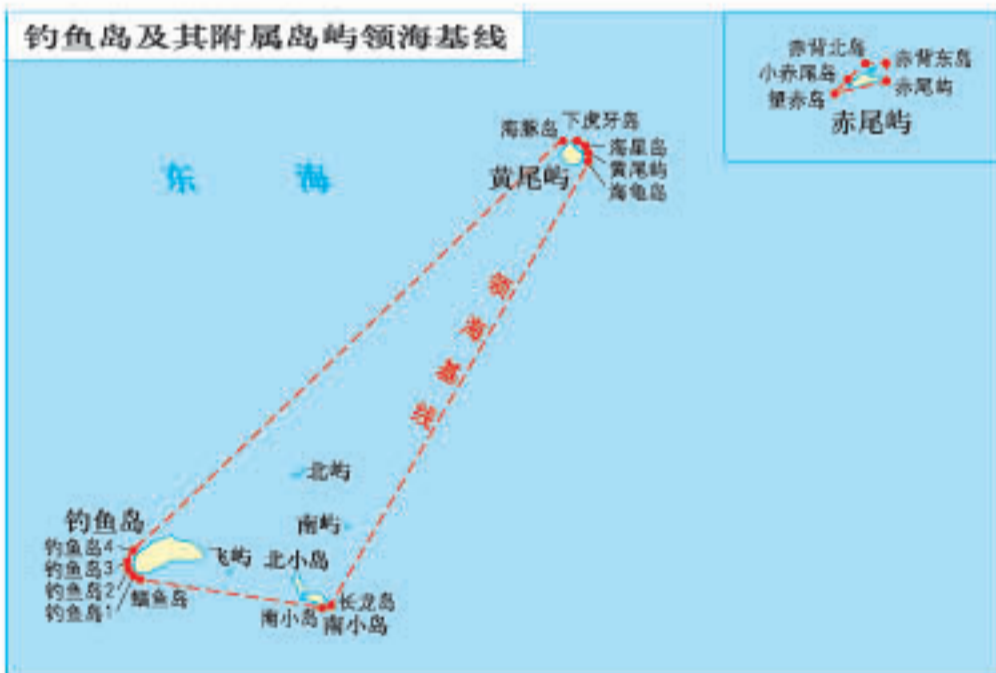
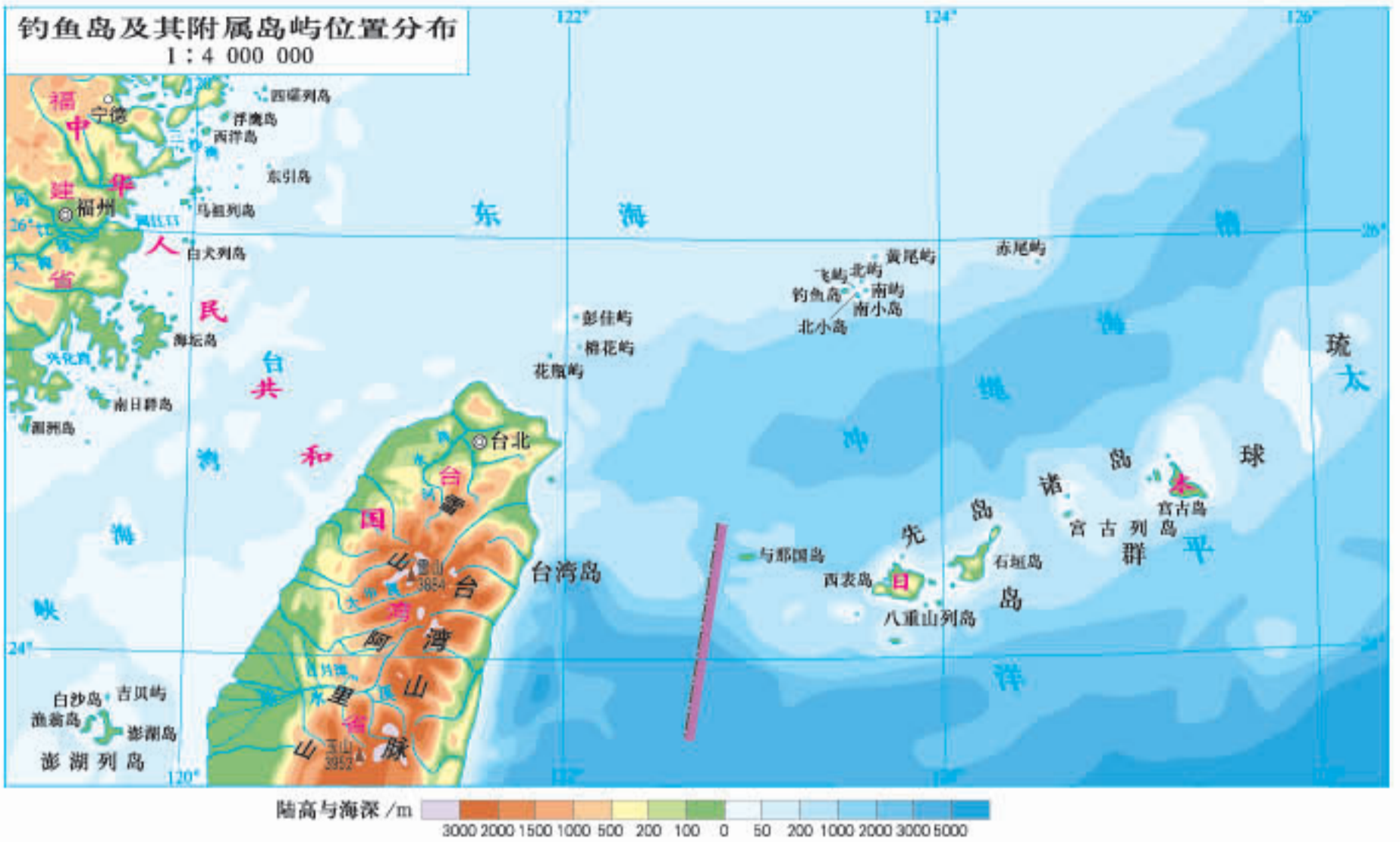


永暑礁卫星影像(2018年)

图中标绘一条西起中越边界北仑河口, 东至台湾东北共11段线构成的断续线。线内不仅标注东沙、西沙、中沙和南沙群岛的整体名称, 而且还标出曾母暗沙及大部分岛礁的个体名称。



1947年中华民国内政部方域司编印的《南海诸岛位置图》



钓鱼岛亦称钓鱼台、钓鱼屿、钓鱼山。1403年(明永乐元年)的《顺风相送》是最早记载钓鱼岛、赤尾屿等地名的史籍。

普通高中教科书

地理图册

必修

第二册

(配人教版)

星球地图出版社

PUTONG GAOZHONG JIAOKESHU
DILI TUCE



绿色印刷产品

ISBN 978-7-5471-2612-7



9 787547 126127 >

定价：4.85 元